

## Capitulo 2 Area El Faisán

### 2-1 Método de Investigación

En esta área se realizaron investigaciones geológicas y geoquímicas cuyo detalle se muestra en la Tabla I-1-1.

En la investigación geológica se observaron la geología, estructura geológica, zona alterada y zona mineralizada en superficie con una extensión de 30 km<sup>2</sup> y sus resultados se inscribieron en el mapa de rutas. Se realizaron la observación microscópica de roca y mena así como análisis químicos de roca y mena y análisis rayos-X de rocas. Además se definieron las zonas donde los valores anomalías causados por la mineralización están distribuidos. En base a estos resultados, el tipo de yacimiento, roca volcánica relacionada con mineralización así como la restricción y extensión de la mineralización se analizaron y se estudió la potencialidad de yacimiento.

En la investigación de campo, se enfatizaron los siguientes puntos.

- Geología : Estratigrafía y distribución de rocas intrusivas
- Estructura Geológica : Dirección de estrato, falla, diaclasa, foliación y veta
- Zona alterada : Tipo, escala, forma y relación con la mineralización
- Zona mineralizada : Tipo, escala continuidad y modo de ocurrencia de mena

Las muestras de suelo para la investigación geoquímica se extrajeron de la tierra arcillosa. La densidad de muestreo fue densa en la zona mineralizada y tosca en otros sitios.

### 2-2 Investigación Geológica

#### 2-2-1 Geología

El mapa geológico del área de investigación se muestra en la Fig. II-2-1 (PL-II-2-2), el perfil geológico en la Fig. II-2-2 (PL-II-2-3), la columna geológica en la Fig. II-2-3, los puntos de muestreo de muestras en PL. II-2-1, los resultados de

la observación de microscópica de roca, en la Tabla II-2-1 y los resultados de los análisis químicos de roca, en la Tabla II-2-2.

Esta área se compone de rocas sedimentarias pertenecientes al sistema cretácico y rocas intrusivas que las penetran.

#### Sistema cretácico

El sistema cretácico se clasifica en tres unidades por la diferencia en litología. Desde abajo el sistema se compone de estrato de arenisca arcósica, de lutita, y de alternancia de toba y limolita.

Estas tres unidades se aclutinan concordantemente, corriendo hacia nornordeste a sursudeste. Por lo general, el sistema se inclina suavemente al oeste.

#### Estrato Arenisca Arcósica (Ks)

El estrato arenisca arcósica (Ks) está distribuido en la cuenca del Arroyo Cañita de la parte este de esta área, el cual se halla sólo dentro de una extensión pequeña del área de investigación, estando distribuido extensivamente en dirección al este del área (Lorinzi y Miranda 1978). El estrato tiene más de 100 metros de espesor. El estrato se compone principalmente de arenisca arcósica dura y gris con granos medianos o finos, acompañándose de limolita arcósica en forma de lente. Un poco de estratificación se reconoce. Al investigarlo al microscopio se observa que la mayor parte es de cuarzo con plagioclasa, feldespato potásico y circon. También, los cristales de sercita y calcita aparecen por alteración (Muestra No. X-69).

Según el análisis químico de la roca, el contenido de SiO<sub>2</sub> es de más de 80% (X-69).

#### Estrato de Lutita (km)

El estrato de lutita (km) está distribuido en la cuenca del Arroyo La Cañita de la parte este de esta área. El estrato tiene 200 metros de espesor. El estrato se compone principalmente de lutita negra y dura con limolita, arenisca, marga y estrato carbónico. La lutita negra y limolita contienen materia carbonosa en la mayoría de las rocas. El estrato se ha transformado parcialmente en rocas de pizarra y esquisto grafítico metamorfismo regional.

La lutita negra (X-10) contiene cuarzo y feldespato principalmente con calcita, esfena y materia carbonosa. Marga se compone principalmente de calcita con cuarzo y carbónidos. Limolita (X-68) se compone principalmente de cuarzo y calcita con feldespato y mineral de hierro.

Arenisca (X-11) tiene casi misma composición que el estrato arenisca (Ks) de abajo, pero se acompaña de un poco de materia carbonosa. Las rocas alteradas se componen de clorita, sericita, cuarzo, calcita y pirita.

Segun el análisis químico de rocas, lutita negra (X-10) tiene 64% de SiO<sub>2</sub>. En caso de marga (X-63), el contenido de SiO<sub>2</sub> es bajo (34%) mientras que el contenido de CaO es alto (31%).

En caso de arenisca (X-11), el contenido de SiO<sub>2</sub> es de más de 80% como el caso del estrato arenisca arcósica (Ks).

#### Estrato de alternancia de limolita y toba (Kt)

El estrato de alternancia de limolita y toba esta distribuido extensivamente desde el centro del área hacia la parte oeste, teniendo más de 600 metros de espesor. El estrato se compone principalmente de limolita negra dura o media dura y toba acida verde con lutita, pedernal y estrato de carbón. A veces se observan materia carbonosa en limolita.

La toba ácida y limolita presentan alternancia con un espesor de 5 a 20 cm. Este estrato se ha metamorfoseado parcialmente en esquito de clorita por metamorfismo. Segun la observación por microscópio, la limolita negra (X-75, 103) se compone principalmente de cuarzo, feldespato y materia carbonosa calcita.

La lutita negra (X-47, 49, 52) se compone principalmente de cuarzo y arcilla con calcita, esfena y materia carbonosa

Marga (X-20, 53) se compone principalmente de calcita con cuarzo, materia carbonosa y arcilla. El pederanal (X-44) se compone de cuarzo. Las rocas alteradas son de sericita, clorita, cuarzo, calcita, pirita, oxido de hierro e hidroxido de hierro. Según los resultados del análisis químico de rocas, en caso de la limolita negra (X-75), el contenido de SiO<sub>2</sub> es alrededor de 70% y en caso del lutita (X-47, 49, 52) el

contenido del mismo es 56 - 86%.

En caso de marga el contenido de SiO<sub>2</sub> es bajo (18 - 43%). Por el contrario, el contenido de CaO y de LOI es alto respectivamente (22 - 38% y 23 - 32%).

Por lo expuesto arriba y en lo que se refiere al sistema cretácico las rocas sedimentarias sufrieron fuertemente la metamorfismo regional y pocas rocas volcánicas ácidas se encuentran. Se considera que estas rocas sedimentarias deben ser del tipo Molasa por las razones siguientes:

- 1) La circunstancia sedimentaria no presenta ningún aspecto abismal.
- 2) La roca arenisca es del tipo arcosa.
- 3) El estrato es estratificado e insuficiente debido a la gradación.
- 4) Contienen estratos de carbón adentro.

Molasa tipo lo que significa la cuenca rellena de las gravas que resultaron del cepillado de sierra elevada, la cual apareció durante la época en que los estratos amontonados de Frisch se transformaron en montañas. En este sistema cretácico no se observaron las lavas decita y andesita.

#### Rocas Intrusivas

Las rocas intrusivas se componen de dacitas (Dc1, Dc2), andesita (Ad), Pórfido (Pr) y Gabro (Gb).

Estas rocas intrusivas penetran el sistema cretácico y se observan en el centro del área. La superficie de distribución ocupa 50% (15 km<sup>2</sup>) del área de investigación. Las dacitas (Dc1, Dc2) ocupa el área más amplia, seguida por andesita (Ad) y Pórfido (Pr) en orden y Gabro (Gb) se observa solo en dique pequeño. Las rocas intrusivas se introducen generalmente rumbo al nornoroeste-sursureste con inclinación casi perpendicular. Rocas intrusivas se continúan hasta más de 10 km con una anchura de más de 1,5 km.

Según la investigación de campo, la sucesión evidente no se observa entre dacitas (Dc1, Dc2), andesita (ad) y pórfido (Pr). Por consiguiente se considera que estas rocas intrusivas exepcto gabro (Gb) se formaron en un poco tiempo. Gabro (Gb) penetra evidentemente la dacita (Dc2) y andecita (Ad).

### Dacitas (Dc1, Dc2)

Las rocas dacitas varían vehementemente en litología representando gris ennegrecido-gris-verdeligero, en porfirítico-nonporfirítico, silisificado-vidrio, con foliación-masivo. En alguna parte se observa la combinación de cuarzo, feldespato y mineral máfico en forma de fenocrystal. Alguna parte se compone de solo cuarzo o feldespato, o unicamente de vidrio. En el mapa geológico la roca acompañada de un poco de fenocrystal o de vidrio sin fenocrystal se clasificó en dacita (Dc1) y la roca cuya textura porfirítica se observa evidentemente se clasificó en dacita (Dc2).

Según la investigación realizada por CRM, dacita (Dc1) se clasificaba en la roca volcánica acida. La dacita (Dc2) se observa intermitentemente en el norte del área de investigación hasta el sur, mientras que la dacita (Dc1) está distribuida únicamente en la parte sudeste del área de investigación.

Según la investigación por microscopio, la dacita (Dc1) se acompaña de un poco de cuarzo, feldespato o feldespato potásico. La matriz se compone principalmente de cuarzo y vidrio, acompañándose de feldespato, esfena y circón (X-62, 67, 93). Por otra parte la dacita (Dc2) contiene el cuarzo y feldespato en forma de fenocrystal, acompañándose de feldespato potásico. La matriz se compone principalmente de cuarzo y feldespato acompañándose de vidrio, feldespato potásico, apatita, esfena y circón (X-12, 14, 18, 19, 24, 28, 51, 66, 74, 81, 102). A veces ambas rocas sufren la alteración fuertemente, por lo que la sericita, clorita, calcita, cuarzo, pirita y oxidos de hierro se cristalizan en estas rocas. Especialmente la parte vitrea de la dacita (Dc1) sufre la argilización, la cual se ha metamorfoseado en esquisto de clorita o mica.

Según el análisis químico de rocas de la dacita (Dc2), las rocas (X-28,66,81,91) que no han sufrido la alteración fuertemente tienen 65-68% de SiO<sub>2</sub>.

Por otra parte con referencia a la dacita (Dc2) que han sufrido la alteración fuerte (X-14,18,19,24,51,59,74,102) comparado con la composición de dacita (Dc2) ordinaria, el contenido de SiO<sub>2</sub> es bajo (54-61%) mientras que el contenido de

LOI es alto (4-9%). Igualmente como la dacita (Dc1) ha sufrido la alteración fuerte, el contenido de SiO<sub>2</sub> es bajo (49-62%) mientras que LOI es alto (6-12%) (X-62,76,93). De esto se infiere que de la dacita las rocas con mucho contenido de vidrio representaron un fenómeno de devitrificación del vidrio por causa de alteración.

#### Andesita (Ad)

La andesita se observa en la parte nort del centro de esta área entre el pueblo de Ahotla y la mina vieja de Suriana con una extensión de 1 km (este - oeste) por 3 Km (sur - norte). Esta roca tiene en dirección al nornoroeste - sursureste como en caso de las dacitas (Dc1, Dc2). Es la roca masiva y densa con fenocristal, representado verda ligero -verde -gris. El feldespato y mineral máfico se observan.

Según la investigación por microscópio se observan textura porfirítica y la textura vítera.

El fenocristal se compone de feldespato y mineral máfico (piroxeno), mientras que la matriz se compone principalmente de feldespato y vidrio, acompañado de cuarzo, apatita, esfena y circón (X-31,40,41,82). Por medio de la alteración en lugar de vidrio y mineral silicato la sericita, clorita, calcita y pirita se producen esta roca. Según el análisis químico de las rocas, estas rocas tienen la composicion de andesita (X-31,40,41,82) con 56-64% de SiO<sub>2</sub>.

#### Porfido (Pr)

El pórfido se observa cerca de la mina vieja de Suriana como presentando una forma de 500 m de largo y 300 m de ancho. Esta roca es compacta y masiva, presentado color gris-verde ligero. En la parte que sufrió la alteración fuerte es difícil distinguir esta roca de la dacita (Dc2). El feldespato y mineral máfico se observan.

Según la investigación por microscópio, la textura holocristalina y portirítica se observan. Fenocristal se compone principalmente de feldespato y hornblenda, acompañado de curazo secundario. La matriz se componen de cuarzo, esfena y mineral de hierro (X-46).

Por medio de la alteración, la clorita, sericita, cuarzo,

epidoto, zoisita y calcita cristalizan en la matriz. Según el análisis químico de las rocas, estas rocas tienen la composición química de roca básica 46% de SiO<sub>2</sub>. Sin embargo, como esta roca muestra la característica intermedia, se considera que la composición silícica de la parte matriz está disuelta.

#### Gabro (Gb)

Gabro (Gb) que penetra la andesita (Ad) y dacita (Dc2), se observa en la parte sur del área, con una anchura de 50 cm a 2 m. Esta roca corre en dirección nornoroeste - sursurdeste como en caso de la dacitas (Dc1, Dc2) cuarzosa (Dc1, Dc2).

Según la investigación por microscopio, esta roca muestra la textura equigranular con uniformidad y se compone principalmente de feldespato, hornblenda y piroxeno, acompañándose de cuarzo y esfena (X-100). Por medio de la alteración, la clorita y sericita se forman en esta roca.

Según el análisis químico, estas rocas tienen la composición básica con 53% de SiO<sub>2</sub>.

#### 2-2-2 Geología Estructura

Las rocas sedimentarias pertenecientes al sistema cretácico presenta una forma de micropliegue y se penetran, se observan intrusión leves localmente.

Especialmente en la parte donde dichas rocas intrusivas penetran, las rocas sedimentarias pertenecientes al sistema cretácico se presentan una inclinación paralela a lo largo del rocas intrusivas, parece que existen alternancia. Sin embargo, el sistema cretácico en general corre en dirección al nornoroeste - sursureste con una inclinación ligera a oeste. Por consiguiente al correr hacia el área oeste, al estrato superior se observa.

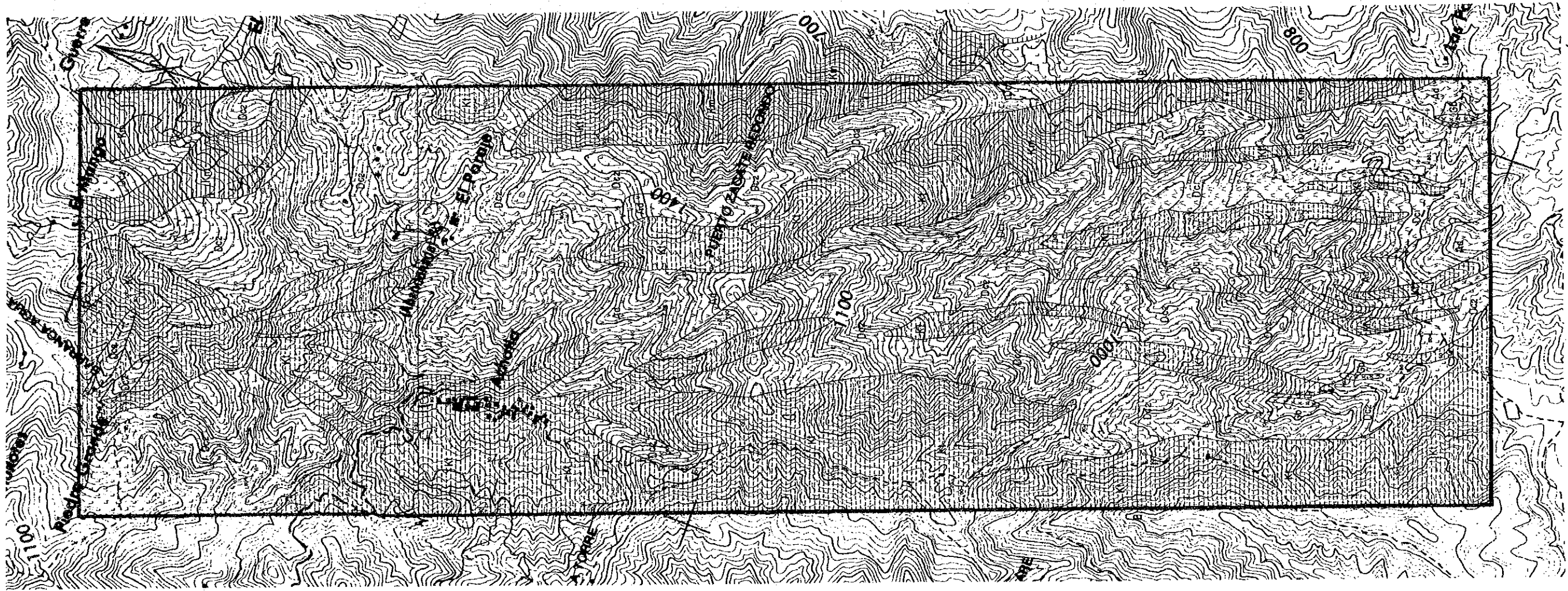
Las rocas intrusivas corren en dirección al nornoroeste - sursureste con una inclinación empinada al oeste o este.

De las fallas en estrato de el sistema cretácico, se infiere que las rocas intrusivas penetraron a lo largo de la falla









Leyenda

Cretácico

- Kt Alternancia de Limolita y Toba con Lutita, Pedernal, Marga y Carbón
- Km Lutita con Limolita, Arenisca, Marga y Carbón
- Ks Arenisca Arcósico con Limolita

Intrusivos

- Gb Gabro
- Pr Pórfido
- Dec Deca Porfirifica
- Ad Andesito
- Dci Deca Vítrea

Símbolos

- 20°/45° Rumbo e Inclinación de Estrato
- 20°/20° Rumbo e Inclinación de Lintación
- 60°/45° Rumbo e Inclinación de Fractura y Diaclasa
- 70°/40° Rumbo e Inclinación de Veta
- Zona Mineralizada
- Soccvón Inactivo
- Folla

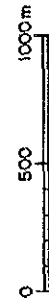
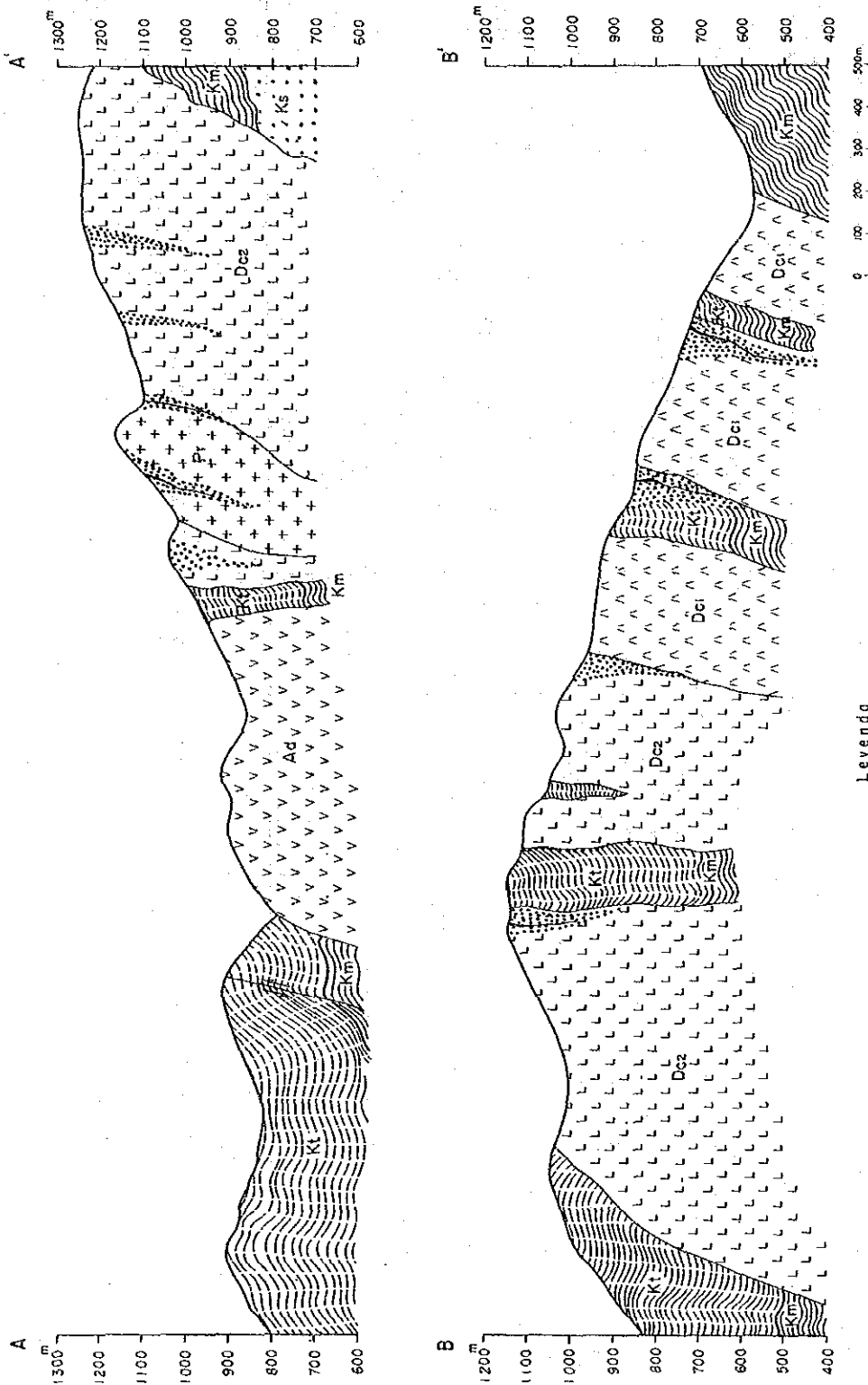


Fig. 11-2-1 Mapa Geológico del Area El Faisán





- Leyenda**
- |  |   |  |  |  |
|--|---|--|--|--|
| <p><b>Cretácico</b></p> <ul style="list-style-type: none"> <li><span style="display: inline-block; width: 15px; height: 10px; border: 1px solid black; background: repeating-linear-gradient(45deg, transparent, transparent 2px, black 2px, black 4px);"></span> K1</li> <li><span style="display: inline-block; width: 15px; height: 10px; border: 1px solid black; background: repeating-linear-gradient(-45deg, transparent, transparent 2px, black 2px, black 4px);"></span> K2</li> <li><span style="display: inline-block; width: 15px; height: 10px; border: 1px solid black; background: repeating-linear-gradient(90deg, transparent, transparent 2px, black 2px, black 4px);"></span> K3</li> <li><span style="display: inline-block; width: 15px; height: 10px; border: 1px solid black; background: repeating-linear-gradient(-90deg, transparent, transparent 2px, black 2px, black 4px);"></span> K4</li> </ul> | <p>Alternancia de Limolita y Toba con Lutito, Pedernal, Marga y Carbón</p> <p>Lutito con Limolita, Arenisca, Marga y Carbón</p> <p>Arenisca Arcósica con Limolite</p> | <p><b>Intrusivos</b></p> <ul style="list-style-type: none"> <li><span style="display: inline-block; width: 15px; height: 10px; border: 1px solid black; background: repeating-linear-gradient(45deg, transparent, transparent 2px, black 2px, black 4px);"></span> Gb</li> <li><span style="display: inline-block; width: 15px; height: 10px; border: 1px solid black; background: repeating-linear-gradient(-45deg, transparent, transparent 2px, black 2px, black 4px);"></span> P7</li> <li><span style="display: inline-block; width: 15px; height: 10px; border: 1px solid black; background: repeating-linear-gradient(90deg, transparent, transparent 2px, black 2px, black 4px);"></span> Dc2</li> <li><span style="display: inline-block; width: 15px; height: 10px; border: 1px solid black; background: repeating-linear-gradient(-90deg, transparent, transparent 2px, black 2px, black 4px);"></span> Ad</li> <li><span style="display: inline-block; width: 15px; height: 10px; border: 1px solid black; background: repeating-linear-gradient(45deg, transparent, transparent 2px, black 2px, black 4px);"></span> Dc1</li> </ul> | <p>Gebro</p> <p>Pérfido</p> <p>Dacha Perfirilica</p> <p>Andésita</p> <p>Quete Vítres</p> | <p><b>Símbolos</b></p> <ul style="list-style-type: none"> <li><span style="display: inline-block; width: 15px; height: 10px; border: 1px solid black; background: repeating-linear-gradient(45deg, transparent, transparent 2px, black 2px, black 4px);"></span> Rumbo e inclinación de Veto</li> <li><span style="display: inline-block; width: 15px; height: 10px; border: 1px solid black; background: repeating-linear-gradient(-45deg, transparent, transparent 2px, black 2px, black 4px);"></span> Zona Mineralizada</li> <li><span style="display: inline-block; width: 15px; height: 10px; border: 1px solid black; background: repeating-linear-gradient(90deg, transparent, transparent 2px, black 2px, black 4px);"></span> Follo</li> </ul> |
|--|---|--|--|--|

Fig. 11-2-2 Perfil Geológico del Area El Faisán

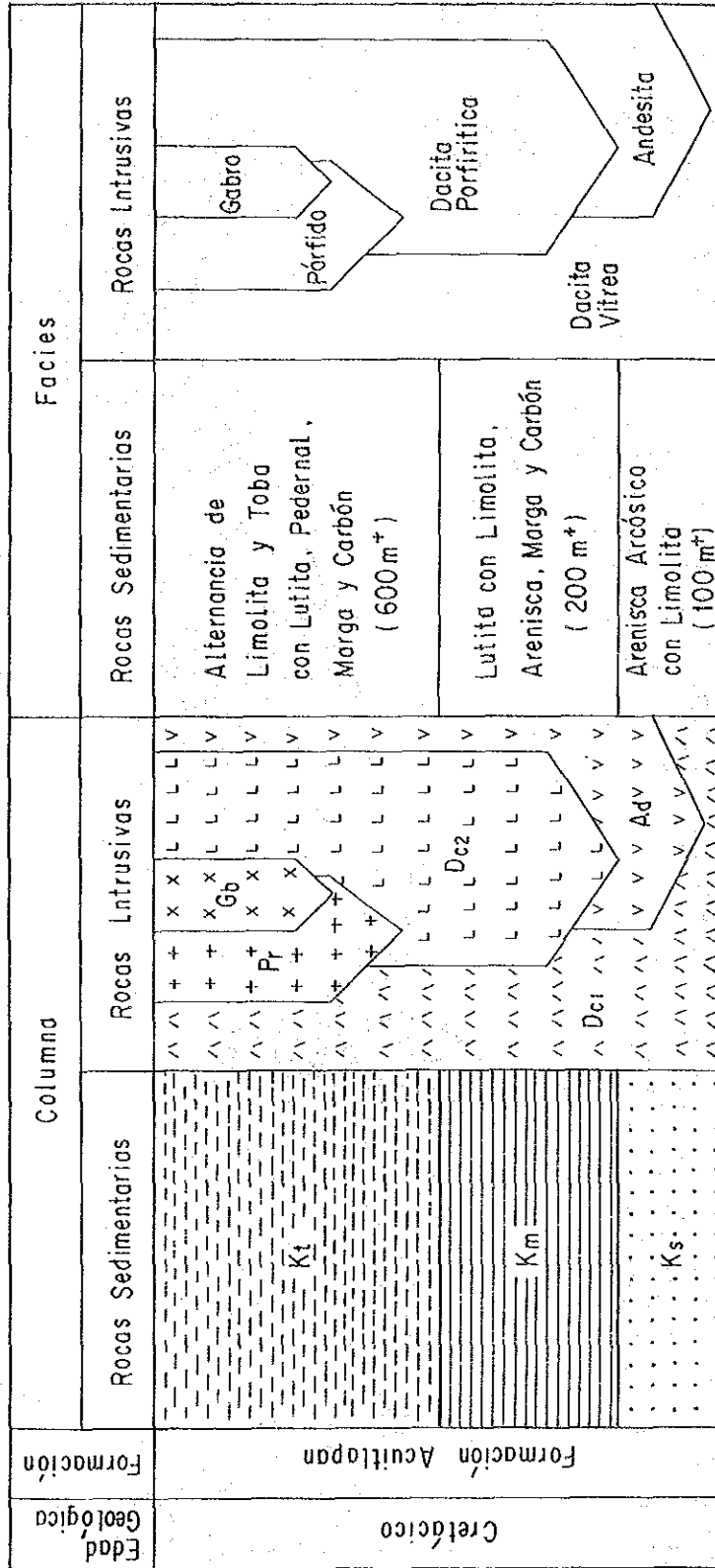


Fig. 11-2-3 Columna Geológica del Area El Faisán



(2)

No	Roca	Fenocristal o Fragmento													Matriz													Mineral por Alteración													Textura o Nota
		Qz	Pl	Kf	Fl	Hb	Px	Mf	Fl	Sh	Cl	Uz	Pi	Kf	Fl	Ca	Ap	Sp	Zr	Fe	Gh	Cb	Cl	Uz	Se	Ch	Ep	Zo	Ze	Ca	Pr	Py	Ox								
X-44	pedernal(Kt)																																					Δ	microfosil		
X-46	porfido(Pr)											△													△														△	porfirítico	
X-47	lutita(Kt)												◎																											alterado	
X-49	lutita(Kt)																								○		△												△		
X-51	dacita(Dc2)												◎												○		○														
X-52	lutita(Kt)																																								
X-53	marga(Kt)																																							alveolar	
X-62	dacita(Dc1)													△												○														alterado	
X-63	marga(Km)																																								
X-66	dacita(Dc2)																																							felsico	
X-67	dacita(dcl)													△																											
X-68	limonita(Km)																																								

(3)

No	Roca	Fenocristal o Fragmento											Matriz											Mineral por Alteración											Textura o Nota
		Qz	Pl	Kf	Fi	Hb	Px	Mf	Sh	Cl	Qz	Pl	Kf	Fi	Ca	Ap	Sp	Zr	Fe	Ch	Ch	Ep	Zo	Ze	Ca	Pr	Py	Ox							
X- 69	arenisca(Ks)																																		
X- 74	dacita(Dc2)	⊙																			⊙														
X- 75	limolita(Kt)														Δ						⊙														
X- 81	dacita(Dc2)	•																																	
X- 82	andesita(Ad)	⊙																																	
X- 92	filita(Km)																																		
X- 93	dacita(Dc1)	Δ																																	
X-100	gabro(Gb)																																		
X-102	dacita(Dc2)	•																																	
X-103	limolita(Kt)																																		

## Abreviación

Qz: cuarzo Pl: plagioclasa Kf: feldspato potásico Fi: feldspato Hb: hornblenda Px: piroxeno Mf: minerales maficos Fl: pedernal Si: lutita  
 Cl: arcilla Ca: calcita Ap: apatita Zr: circon Fe: minerales hierro Ch: grafito Cb: carbon Gl: vidrio Se: sericita  
 Ch: clorita Ep: epidoto Zo: zoisita Ze: ceolita Pr: pirita Ox: óxido o hidróxido de hierro



Tabla 11-2-2 Lista de Análisis Químico de Rocas, Area El Faisán

No	Roca	SiO2	TiO2	Al2O3	Fe2O3	FeO	MnO	MgO	CaO	BaO	Na2O	K2O	P2O5	LOI	TOTAL
x- 10	pizarra(Km)	64.46	0.45	17.66	2.10	3.05	0.04	0.88	0.26	0.07	0.76	2.95	0.15	6.44	99.27
x- 11	arenisca(Km)	88.89	0.18	5.75	0.39	1.36	0.01	0.11	0.10	0.02	0.58	0.73	0.06	0.98	99.16
x- 14	dacita(Dc2)	60.97	0.49	13.71	0.59	4.21	0.04	4.00	3.86	0.02	1.92	0.36	0.08	8.86	99.11
x- 18	dacita(Dc2)	61.39	0.73	14.94	1.27	4.93	0.24	6.24	1.49	0.24	0.88	2.27	0.07	4.60	99.29
x- 19	dacita(Dc2)	59.72	0.50	18.59	0.57	4.41	0.06	5.34	2.54	0.16	1.08	2.09	0.06	4.21	99.33
x- 20	marga(Kt)	43.37	0.13	3.97	1.34	2.60	0.22	2.72	22.01	0.01	0.05	0.11	0.11	22.52	99.16
x- 24	dacita(Dc2)	57.67	0.55	18.91	1.42	2.39	0.05	0.91	4.33	0.10	2.03	2.79	0.11	7.86	99.12
x- 28	dacita(Dc2)	67.72	0.24	16.69	1.19	1.92	0.10	1.22	3.10	0.07	2.69	2.20	0.14	2.03	99.31
x- 31	andesita(Ad)	63.24	0.57	14.36	1.06	3.67	0.08	4.50	4.01	0.02	2.68	0.45	0.08	4.50	99.22
x- 40	andesita(Ad)	57.58	0.76	17.39	1.70	4.61	0.05	5.95	2.31	0.03	3.49	0.74	0.10	4.37	99.08
x- 41	andesita(Ad)	63.97	0.63	15.22	0.46	3.82	0.05	3.37	4.55	0.02	2.73	0.95	0.08	3.40	99.25
x- 44	pedernal(Kt)	63.97	0.63	15.22	0.46	3.82	0.05	3.37	4.55	0.02	2.73	0.95	0.08	3.40	99.25
x- 46	pórfido(Pr)	88.04	0.10	3.13	4.05	1.24	0.03	0.27	0.07	0.02	0.02	0.57	0.09	1.53	99.16
x- 47	lutita(Kt)	45.55	1.15	16.83	2.23	8.23	0.19	9.23	9.73	0.01	1.51	0.31	0.17	3.95	99.09
x- 49	lutita(Kt)	85.90	0.26	4.85	0.09	2.86	0.03	1.70	0.98	0.02	0.68	0.33	0.05	1.40	99.15
x- 51	dacita(Dc2)	54.16	0.52	17.22	0.89	5.67	0.10	4.41	5.45	0.04	2.39	1.10	0.15	6.99	99.09
x- 52	lutita(Kt)	56.00	0.68	23.99	3.59	0.60	0.01	1.78	0.17	0.13	0.61	6.08	0.05	5.44	99.13
x- 53	marga(Kt)	18.27	0.23	5.09	0.06	2.91	0.27	1.46	38.17	0.02	0.19	0.73	0.18	31.69	99.27
x- 62	dacita(Dc1)	56.64	0.52	10.01	0.60	2.64	0.12	2.11	11.94	0.12	0.44	1.86	0.20	11.92	99.12
x- 63	marga(Km)	34.82	0.22	4.74	0.57	0.55	0.05	0.63	30.83	0.04	0.26	0.80	0.11	25.78	99.40
x- 66	dacita(Dc2)	67.08	0.43	15.35	0.04	4.07	0.08	2.15	1.99	0.05	2.30	1.69	0.10	3.89	99.22
x- 69	arenisca(Ks)	82.84	0.21	8.69	1.40	1.25	0.02	0.24	0.11	0.04	1.55	1.07	0.06	1.61	99.09
x- 74	dacita(Dc2)	57.47	0.64	14.81	0.44	5.63	0.11	5.97	7.56	0.02	1.51	0.55	0.09	4.33	99.13
x- 75	limonita(Kt)	69.52	0.49	10.25	1.84	0.86	0.01	1.11	3.83	0.08	0.41	2.13	0.24	8.57	99.34
x- 76	dacita(Dc1)	48.98	0.86	15.53	0.21	7.85	0.16	7.76	6.04	0.08	1.23	0.61	0.17	9.70	99.18
x- 81	dacita(Dc2)	65.43	0.72	14.92	0.03	4.90	0.04	4.41	1.17	0.01	4.22	0.14	0.18	2.92	99.09
x- 82	andesita(Ad)	61.84	0.65	14.98	0.10	5.13	0.08	4.93	5.04	0.01	3.37	0.24	0.10	2.88	99.35
x- 91	dacita(Dc2)	67.04	0.23	14.99	0.01	3.86	0.07	1.95	2.70	0.03	2.19	1.70	0.09	4.38	99.24
x- 93	dacita(Dc1)	62.29	0.37	14.83	1.99	3.23	0.09	2.71	3.77	0.06	1.26	2.26	0.08	6.10	99.04
x-100	gabro(Gb)	53.43	0.63	11.32	2.39	6.02	0.15	9.69	11.51	0.01	1.33	0.36	0.19	2.08	99.11
x-102	dacita(Dc2)	59.60	0.58	12.47	0.49	5.51	0.08	6.46	8.86	0.01	0.25	0.53	0.03	4.58	99.45

normal de alto ángulo, que se formó en el sistema cretácico. Estas rocas intrusivas se continúan fuera de los límites de área en dirección al este - oeste. Por consiguiente, se considera que el área donde estas rocas intrusivas están distribuidas, es la gran zona de muchas fallas normales.

### 2-2-3 Mineralización

#### Situación de la Explotación en Esta Area

La zona mineralizada en ésta área se clasifica la de El Piedra Grande, El Machete, La Suriana, El Bonete, El Faisán y El Infierno (Fig. II-2-4).

En la zona mineralizada de La Suriana, la mina de La Suriana, subsidiaria de la mina Cinco Hermanos estaba en operación para la explotación del oro y la plata. Sin embargo, su detalle no es conocido.

Desde el año de 1980, en zona El Faisán CRM ha realizado exploraciones, excavando un pozo con 42 metros de longitud, el cual no se puede usar porque se ha sumergido.

Según la investigación realizada por CRM, la ley promedia de las seis muestras extraídas de la mina es de Au0.1g/t y Ag8.6g/t.

En la zona mineralizada de El Infierno, se excavo una galería con 186 metros de longitud, la cual no se puede usar ahora. Se realizó una perforación (Perforación N<sup>o</sup> BF-1) a 500 metros del suroeste de galería de exploración (Fig. II-2-4,5).

La dirección de perforación es de N 90°E, con una inclinación de 64 grados y 250 metros de profundidad. Según el análisis de la muestra extraídas entre 101.50 y 102.50 m, la ley promedia es de Au1.1g/t Ag59.8g/t, Cu0.35%, Pb0.29% y Zn2.58% (Tabla II-2-4, Muestra N<sup>o</sup> X-96).

También se realizaron prospecciones hasta la longitud de 10m, pero los resultados obtenidos no fueron positivos.

#### Mineralización

Las zonas mineralizadas se observa en las dacitas (Dc1, Dc2) y al borde de las rocas del sistema cretácico que se penetran por las rocas intrusivas. A medida que se distancia de rocas intrusivas, la zona mineralizada se disminuye (Fig. II-2-4). La mineralización es fuerte en el centro del área de

investigación y débil en su alrededor. Especialmente las zonas mineralizadas de La Suriana, El Faisán y El Infierno son grandes, continuándose hasta más de 1,5 km de longitud con 200 m de ancho.

Estas zonas mineralizadas se componen de combinación de veta-venilla, red alveolar, diseminación y brecciación, las cuales se observan en la zona alterada que se menciona más abajo. Las vetas corren en dirección al nornoroeste - sursureste con inclinación empinada de 70 a 90 grados al oeste o este. Vetas tienen más o menos 20 cm de ancho y la máxima anchura excede 10 m.

Fracturas rellenas de mena no acompañan la zona de cizallamiento y fall arcillosa y su movimiento en fractura es poco.

Por consiguiente, se considera que las menas de vetas precipitaron en la fractura de la tensión.

La característica de mineralización es uniforme en las zonas respectivas y el período de mineralización se clasifica en el primer período y el segundo período según la ocurrencia de mena y la paragenesis e minerales. La veta del primer período ha sido cortada con la del segundo período. Las menas de ambas vetas diferencian en propiedad.

En la superficie, comparada con el primer período, la mineralización del segundo período prevalece por lo que el afloramiento rojo del óxido e hidróxido de hierro se observa frecuentemente.

La mena del primer período se compone de cuarzo acompañado de pirita o se compone de pirita acompañado de mineral arcilloso o cuarzo. La mineral del segundo período se compone de limonita y hematita y casi ningún cuarzo se observa.

La limonita y la hematita han aflorado no son originalmente secundarias. No se observó la calcopirita ni esfalerita ni galena.

#### Menas y Minerales

Los puntos de muestreo de minerales se muestran en de, PL. II-2-1, los resultados de observación por microscopio, en la Tabla II-2-3 y los resultados del análisis químico de minerales (menas), en la Tabla II-2-4.

Según la investigación realizada por microscopio, los

minerales de menas del primer período (X-2,43,73,89,96A,96B) se componen de pirita universalmente y se observan parcialmente la esfalerita, pirita y electrum. Los minerales de gangas se componen de cuarzo y calcita.

Como mineral secundario, un poco de limonita se engendra en lugar del mineral de sulfuro.

Por lo que se refiera a los minerales del segundo período (demás de los números citados), los minerales primarios de menas se componen de limonita con pirita y se observan la calcopilita (X-8A, 8B), esfalerita (X-1), hematita (X-98) y marcacita (X-1, 26). Se confirmó que la limonita (X-90) consiste de goethita, y lepidocrocita en parte. Los demás minerales de limonita no se identificaron debido a sus granos finos y polimorfismos.

Según los resultados del análisis por rayos-X (X-8,32,90,99) se confirmó que la limonita contiene goethita y hematita, casi ningún mineral de ganga se observa.

Textura colomorfa y bandeada en limonita se observa. Una parte de la limonita está cristalizada en lugar de la pirita y marcacita, aún el cual es poco en cantidad.

Según el análisis de minerales (menas), los minerales del primer período (X-2A,3,89,96) marcan Aul.1g/t, Ag60g/t, Cu0.05%, Pb0.02%, Zn2.68% al máximo. Los minerales del segundo período (otras muestras) marcan Aul.9g/t, Ag286g/t, Cu0.96%, Pb0.62%, Zn2.1% al máximo.

De lo expuesto anteriormente se infiere que los elementos metálicos deseables para la exploración no son Cu, Pb y Zn, sino Au y Ag.

#### 2-2-4 Alteración

##### Estado de alteración

La zona alterada de la superficie está distribuida y rodea la zona mineralizada y se observa alrededor de rocas intrusivas ((Dc2), (Fig. II-2-4). La zona alterada se ablanda con argilitización, representado blanco, gris o marrón rojizo. El grado de alteración es fuerte cerca de la zona mineralizada y a media que se distancia, llega a ser débil. Las zonas alteradas grandes están distribuidas cerca de las zonas mineralizadas de

La Suriana, El Faisan y El Infierno, las cuales tienen 500 m de ancho y 2 km de largo.

La alteración se clasifica en los siguientes tipos: argilitización silicificación y hamatitización y limonitización. en la zona alterada fuerte la arcilla blanca, hematita y limonita prevalecen. Por consiguiente, la roca original no se puede distinguir. En la zona alterada débil, la alteración llega a ser débil. Como consecuencia, la roca original se observa.

Según los resultados de la perforación BF-1 (Fig. II-2-5) realizada por CRM, la hematitas, limonita y arcilla de roca se observa hasta 20 metros de profundidad y la parte más profunda prevalece cuarzo y pirita.

#### Análisis por Rayos-X

Para identificar los minerales formados por alteración, se realizó el análisis por rayos-X cuyas condiciones de medición son como los siguientes:

Equipo adoptado : Geiger-Flex 2078 de Rigaku  
Electric Co.

Polo negativo : Cu

Filtro : Ni

Voltaje : 30 Kv

Corriente : 15mA

Escala completa : 2000 CPS

Coefficiente de tiempo : 1 segundo

Sistema de abertura :  $1^\circ - 0.3 \text{ mm} - 1^\circ$

Velocidad de difracción :  $2^\circ/\text{mm}$

Velocidad de gráfico : 20 mm/min.

Alcance de difracción :  $20 = 2-40^\circ$

Los minerales detectados se muestran en la proporción cuantitativa relativa usando el índice de cuarzo (Hayashi, 1979). El índice de cuarzo es la máxima intensidad de rayos-X del cuarzo puro  $I_q$  indicada en porcentaje, la cual se midió en las mismas condiciones que la máxima intensidad de rayos-X de cada mineral  $I_m$ .

$$\text{Indice de cuarzo (Q.1)} = \frac{I_m}{I_q} \times 100$$

Por lo que se refinere al cuarzo, en caso que el primer pico se va fuera de la escala, se infirió del segundo pico.

Los resultados de análisis por rayos-X se muestran en la Tabla II-2-5. Los minerales detectados son como los siguientes:

Mineral Silice	:	Quarzo
Feldespato	:	Albita, Feldespato potásico
Mineral carbonato	:	Calcita, Dolomita, Siderita
Mineral Sulfuro	:	Pirita
Mineral Arcilloso	:	Montmorilonita, Sericita, Clorita, Caolinita

Las muestras adoptadas son las rocas alteradas en grado medio - fuerte. Por consiguiente, la mayoría de los minerales identificados se originó a causa de la alteración. El cuarzo se clasifica en dos: uno se contiene originalmente y el otro se deriva a causa de la alteración. En la dacitas (Dc1, Dc2) es difícil distinguirlos.

Según el análisis por rayos-X, el cuarzo y caolinita aparecen principalmente en el centro de la zona de la alteración (mineralización). A medida que se distancia del centro, la clorita, sericita, albita y feldespato potásico aumentan en sus cantidades en lugar de dichos minerales. Montmorilonita y minerales carbonatos se observan en zona externa en forma de venilla aún al final del período de la alteración.

#### División de la Zona alterada

En base al estudio de Utada (1980), usando los minerales por alteración que aparecen en las muestras, la zona alterada se dividió en la zona ácida y la zona intermedia (Fig. II-2-4).

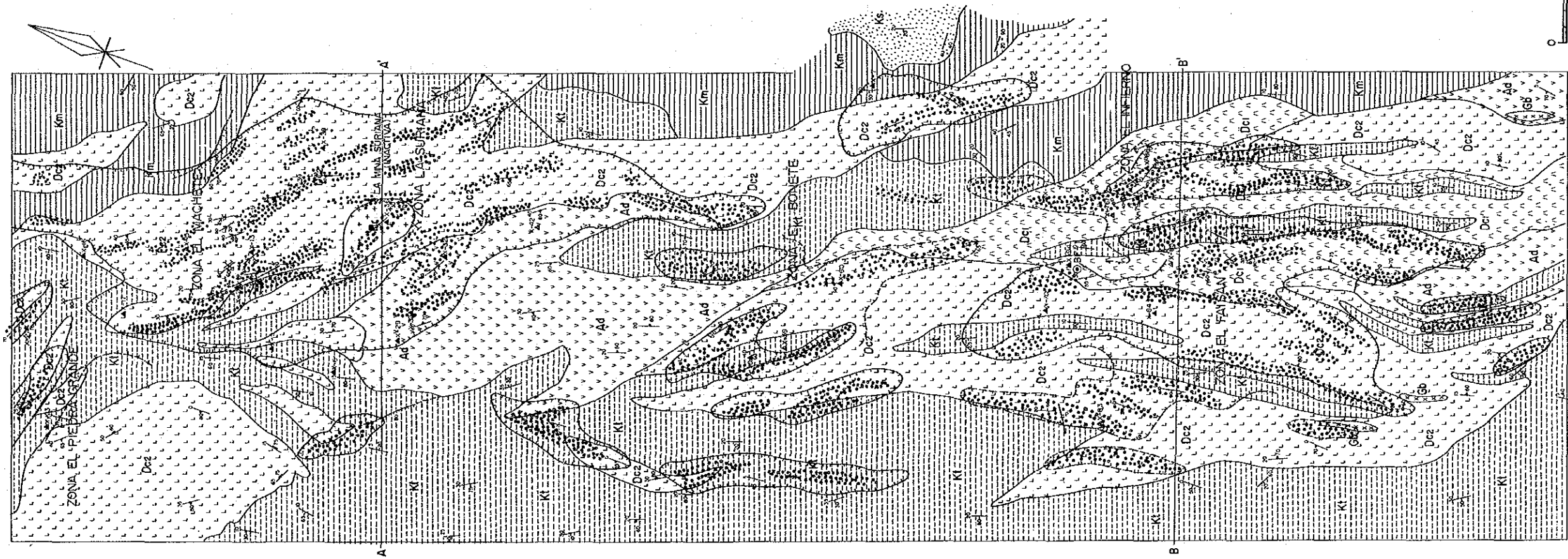
La zona ácida se compone de caolinita y cuarzo, acompañada algunos minerales de sericita, montmorilonita, pirita y minerales carbonosos.

La zona intermedia se compone algunos minerales de sericita, montmorilonita y cuarzo, no hallándose caolinita. Parcialmente se ven albita, feldespato potásico y minerales carbonosos.









**Leyenda**

- |                   |       |  |
|-------------------|-------|--|
| <b>Cretácico</b>  | KI    | Alteración de Limolita y Toba con Lutita, Pedernal, Marga y Carbón |
|                   | Km    | Lutito con Limolita, Arenisco, Marga y Carbón                      |
|                   | Ks    | Arenisca Arcósico con Limolito                                     |
| <b>Intrusivos</b> | Gb    | Gabro  |
|                   | Pr    | Pórfido  |
|                   | Decz  | Dacita Porfiritica   |
|                   | Ad    | Andesito   |
|                   | Dcr   | Dacita Vítreo  |
| <b>Símbolos</b>   | 20 45 | Rumbo e Inclinación de Estrato                                     |
|                   | 20 45 | Rumbo e Inclinación de Limiación                                   |
|                   | 60 45 | Rumbo e Inclinación de Fractura y Diaciosa                         |
|                   | 70 40 | Rumbo e Inclinación de Veta  |
|                   |       | Zona Mineralizada  |
|                   |       | Socavón Inactivo   |
|                   |       | Falla  |
|                   |       | Veta   |
|                   |       | Zona Mineralizada  |
|                   |       | Zona Alterada (Alteración Ácida)                                   |
|                   |       | Zona Alterada (Alteración Intermedia)                              |
|                   |       | Prospecto  |
|                   |       | Socavón  |
|                   |       | Muestra por Análisis de Rayos-X                                    |
|                   |       | BF-1 Barreno por CRM   |
|                   |       | Rumbo : 90°  |
|                   |       | Inclinación : 64°  |
|                   |       | Profundidad : 250m   |

Fig. 11-2-4 Zonas de Mineralización y Alteración, Area El Faisán



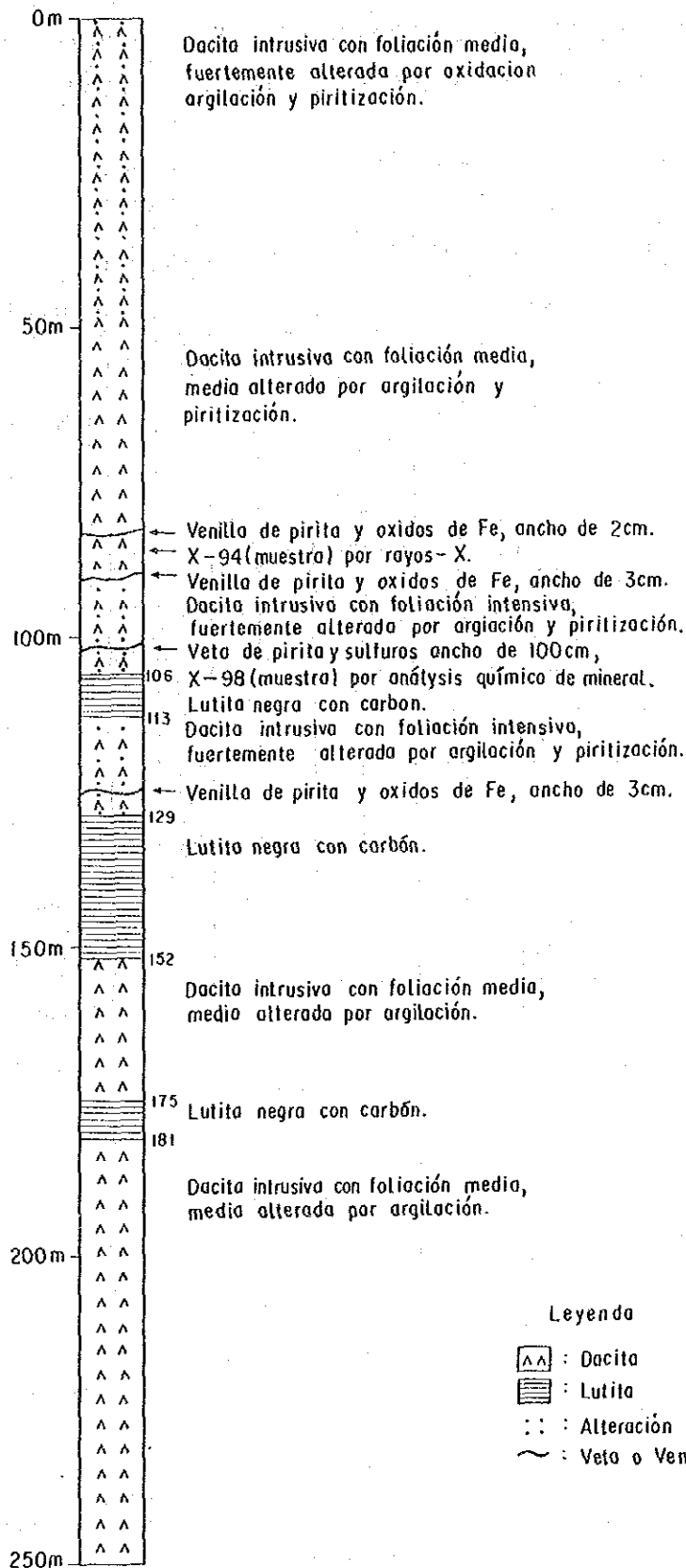


Fig. II-2-5 Columna geológica del Sondeo BF-1, Area El Faisán

Tabla 11-2-3 Resultados de Observación Microscópica de Secciones Pulidas de Minerales, Area El Faisán

NO	período	Mineral										Ganga		Nota		
		Py	Mc	Li	He	Cp	Gl	Sp	Ap	El	Qz	Ca				
X- 1	segundo	•	•	⊙				•								limonita bandeada
X- 2	primero	•										⊙	△			
X- 8A	segundo	•		⊙		•										limonita bandeada
X- 8B	segundo	•		⊙		•										limonita concentrica
X-13A	segundo	△		⊙												limonita bandeada
X-13B	segundo	△		⊙												limonita bandeada
X-26	segundo	•	•	△												
X-32	segundo	•		⊙												
x-35	segundo	•		⊙												
X-43	primero	•										⊙	•			
X-73	primero											⊙	•			
x-77	segundo	△		⊙												limonita bandeada
X-78	segundo			○							•					limonita bandeada
x-85A	segundo	•		△							•					limonita colomorfa
X-85B	segundo	•		△												limonita colomorfa
X-89	primero	○		•												
X-90	segundo	△		⊙												goethita, Lepidocrocita
X-96A	primero	⊙				•	•	○	•							
X-96B	primero	⊙				•	•	○	•							
X-98	primero	⊙			△	•		△				⊙				
X-99	segundo	•		⊙												limonita colomorfa

Leyenda

⊙:abundante

Py:pirita

Cp:calcopirita

El:electrum

○:común

Mc:marcasita

Gl:galena

Qz:cuarzo

△:escaso

Li:limonita

Sp:esfalerita

Ca:calcita

•:raro

He:hematita

Ap:arsenopirita

Tabla 11-2-4 Lista de Análisis Químico de Minerales, Area El Faisán

No	Mineral	Período	Tipo	Ancho de Veta	Au(g/t)	Ag(g/t)	Cu(%)	Pb(%)	Zn(%)
X- 1	Limonita	segundo	Veta-Venilla	200cm	< 0.1	6.0	0.11	0.05	0.30
X- 2A	Pirita	primero	Veta	30cm	< 0.1	4.8	<0.01	0.02	0.02
X- 2B	Limonita	segundo	Veta	10cm	< 0.1	1.4	0.01	0.01	0.02
X- 3	Pirita	primero	Venilla	40cm	< 0.1	1.3	0.05	0.01	0.02
X- 7	Limonita	segundo	Veta-Venilla	30cm	0.1	0.9	0.17	0.01	0.11
X- 8	Limonita	segundo	Veta	70cm	0.3	8.8	0.33	0.01	0.11
X-13	Limonita	segundo	Veta-Venilla	30cm	< 0.1	3.1	0.02	0.18	0.04
X-26	Limonita	segundo	Veta-Venilla	20cm	< 0.1	23.7	0.02	0.41	0.05
X-32	Limonita	segundo	Veta	20cm	< 0.1	14.0	0.11	0.12	0.52
X-35	Limonita	segundo	Veta	40cm	1.9	285.9	0.03	0.62	0.10
X-45	Limonita	segundo	Veta	40cm	< 0.1	8.2	0.48	0.02	2.10
X-56	Limonita	segundo	Veta-Venilla	20cm	0.1	13.0	0.05	0.02	0.08
X-57	Limonita	segundo	Veta-Venilla	20cm	< 0.1	3.7	0.02	0.06	0.01
X-77	Limonita	segundo	Venilla	20cm	0.1	2.2	0.02	0.01	0.03
X-78	Limonita	segundo	Veta	40cm	< 0.1	3.7	0.20	0.01	0.08
X-80	Limonita	ssegundo	Brecha	400cm	< 0.1	2.5	0.25	0.01	0.37
X-85	Limonita	segundo	Diseminación	500cm	0.1	1.1	0.05	<0.01	0.02
X-89	pirita	primero	Diseminación	100cm	< 0.1	8.9	0.06	0.01	0.02
X-90	Limonita	segundo	Veta	30cm	0.2	17.5	0.19	0.07	0.13
X-96	Cuarzo-Pirita	primero	Veta	40cm	1.1	59.8	0.35	0.29	2.58
X-98	Limonita	sgundo	Veta	20cm	0.1	22.3	0.31	0.01	0.06
X-99	Limonita	segundo	Veta	20cm	< 0.1	1.0	0.96	0.01	0.14

Tabla 11-2-5 Resultados de Análisis por Rayos-X, Area El Faisán

(1)

No	Roca	Mineral por Alteración										
		Q	Ab	Kf	M	S	Ch	K	Ca	Do	Sd	Py
X- 1	dacita	27.4				5.8		7.1				
X- 2	dacita	70.8				1.5		1.5				
X- 3	dacita	38.1				5.8		10.8			8.3	
X- 5	dacita	34.5				5.8		9.6				
X- 6	dacita	33.3				3.8	5.8					
X- 9	dacita	27.4				4.2		4.2				
X- 13	dacita	32.1				2.9		3.3				
X- 15	dacita	39.3				7.5		4.0				
X- 16	dacita	21.4	23.3				6.7					
X- 17	dacita	29.8						12.9				
X- 23	dacita	28.6		10.4		2.1						
X- 27	limorita	14.3						9.2	14.3			
X- 29	andesita	42.9	3.8		6.7	2.9		3.3				
X- 30	andesita	45.2						12.1				
X- 32	andesita	35.7		4.0		3.3		5.4				
X- 36	dacita	35.7						1.7				
X- 38	dacita	36.9				3.3		5.4				
X- 39	dacita	21.4				11.7						

(2)

No	Roca	Mineral por Alteración										
		Q	Ab	Kf	M	S	Ch	K	Ca	Do	Sd	Py
X- 42	andesita	41.7						9.2				
X- 50	dacita	55.9				2.7		7.1				
X- 59	dacita	35.8	10.8		7.1	2.9						
X- 60	dacita	35.8	18.3		5.8		2.9					
X- 61	dacita	38.1				5.2	4.2					
X- 70	dacita	7.1						2.1	22.9	16.9		
X- 71	marga	52.4		2.9		1.7		8.8	4.2			
X- 76	dacita	21.4	7.9			2.9	23.3					
X- 79	dacita	52.4				5.8						
X- 83	dacita	27.4	10.4		2.9	4.2						
X- 84	dacita	47.6				11.3		7.5				
X- 85	dacita	45.2				5.0		10.4				
X- 88	dacita	51.2						13.3				
X- 94	dacita	32.1				4.6		13.8		2.5	12.5	3.3
X-102	dacita	28.6				8.8		2.9				

## Leyenda

Q :Cuarzo                      Ab:Albita                      Kf:Feldspato Potasico  
 M :Monmorillonita        S :Sericita                    Ch:Clorita  
 K :Caolinita                Ca:Calcita                    Do:Dolomita  
 Sd:Siderita                Py:Pirita                      27.4:Cuarzo Indice

La zona ácida está distribuida en el centro de cada zona mineralizada de La Suriana, El Machete, El Faisan y El Infierno. Por otra parte, la zona intermedia esta distribuida adyacente a la zona mineralizada, de lo cual se infiere que la zona mineralizada y la zona alterada se originó a causa de una serie de actividad hidrotermal. Además, como se muestra en la zona ácida, esta actividad hidrotermal se desarrollo en estado ácido.

## 2-3 Investigación Geoquímica

### 2-3-1 Método de Muestreo y Análisis

La investigación geoquímica se realizó mediante las muestras de suelos. Las muestras de suelo se colectaron densamente alrededor de la zona mineralizada y a lo bruto en otra zona (PL. II-2-1). La tierra elegida fue principalmente el estrato "B". En el área donde el estrato "B" no se ha desarrollado debido a la inclinación empinada, la parte mas arcillosa se eligió. Las muestras se tamizaron por malla 80 despues de haberlas secado al natural.

Las muestras analizadas alcanzan 1210 piezas. Los elementos analizados son los siguientes seis: Cu, Pb, Zn, Au, Ag, Hg. El limite de detección es de 0,1 ppm, 0,1 ppm 0.1 ppm, 1 ppb, 0,1 ppm, 1 ppb. Por lo que se refiere al método de análisis Cu, Pb y Zn adoptan el método de absorcion atomica de espectro, Hg adopta em método de evaporación por reduccion y método de absorción atomica de espectro, y Au y Ag adoptan el método de absorción atomica de espectro de Zeeman. El análisis se realizo en Iijima Analisis Center Co., Ltd.

### 2-3-2 Método de Análisis

Para extraer las zonas anomalas relacionadas con la mineralización y alteración del valor de análisis de cada elemento, se obtuvieron la estadística básica (Tabla II-2-7) que se compone de promedio y desviación estandar y el coeficiente correlativo (Tabla II-2-8), formulándose el diagrama de distribución de frecuencia y diagrama de distribución de frecuencia acumulativa (Fig. II-2-6) y el diagrama de dispersión (Fig. II-2-7). Además se realizó el análisis de componentes principales (Fig. II-2-9) para aclarar



la relación entre los elementos analizados. Aunque algunos de u y Ag indicó valores inferiores al límite de detección, se dió 1/2 del límite de detección respectivamente para su computación.

### 2-3-3 Resultado del Análisis

Los resultados del análisis de suelo se muestran en la Tabla II-2-6 y la estadística básica de los valores del análisis se muestran en la Tabla II-2-7. Según Rose A.W. (1979), el contenido medio de Cu, Pb, Zn, Au, Ag y Hg en el suelo es de 15 ppm, 17 ppm, 36 ppm, 2 ppb, 0,1 ppm y 56 ppb respectivamente en término medio aritmético. en esta area, el contenido medio es de 60 ppm, 44 ppm, 115 ppm, 4 ppb, 0,5 ppm y 221 ppb respectivamente en término medio geométrica, los cuales son dos veces o cuatro veces mayor que los valores ordinarios.

Los valores del análisis se transformaron en logaritmo vulgar y los correlación coeficiente entre elementos para realizarse en inspección significativa. Los resultados de la inspección se muestran en la Tabla II-2-8 el diagrama de dispersión se muestra en la Fig. II-2-7.

En cuanto a los seis elementos, la correlación positiva se observa a razón de 1% de error. Especialmente la correlación entre Cu, Pb y Zn es fuerte mientras que Au, Ag, Hg tienen la correlación fuerte con Pb.

El diagrama de distribución de frecuencia de los valores del análisis y el diagrama de distribución de frecuencia acumulativa relativa se muestran en la Fig. II-2-6. La distancia entre las divisiones del diagrama de distribución de frecuencia se fijó en 1/2 de la desviación estándar. En cuanto a la curva acumulativa relativa, se añadió unas curvas de tolerancia a razón de 5% de error para el examen de Kolmogorov-Smirnov (Govett, G.J.S. 1983). Cada elemento se desvia de la kolmogorov-Smironov curva de confianza, en algunas secciones. Por consiguiente, se considera que cada elemento no se compone de sola población normal de logaritmo regular. Cada elemento indica la oblicuidad positiva, a juzgar por la forma del diagrama de distribución de frecuencia así como la inclinación de la curva acumulativa relativa, desviándose hacia el valor alto.

#### 2-3-4 Evaluación de Anomalía

A veces los elementos se anexan a la roca o se separan de la roca a causa de la mineralización y alteración. Como consecuencia, comparado con la base de elementos que la roca indica originalmente, valores altos o bajos, es decir, valores de anomalía se observan.

En esta área, el valor medio es más alto que el de la suelo ordinario. Según el diagrama de distribución de frecuencia y el diagrama de distribución de frecuencia acumulada, el valor del análisis se desvian hacia el valor alto. De esto se considera que cada elemento se anexó a la roca a causa de la mineralización y alteración.

El punto de ruptura en la curva de frecuencia acumulativa se observa entre le valor medio ( $M$ ) y la desviación estándar y el valor medio ( $M + \sigma$ ). Este punto de ruptura se considera el valor de umbral que indica el borde entre el fondo y el valor anomalo según Lepeltier (1969). Cada elemento incluye el valor de la base en el área inferior a la desviación estándar  $\sigma$ , por lo que los valores de  $M + \sigma$  hasta  $M + 2\sigma$  se clasificaron en valor subanomalo y los valores de mas de  $M + 2\sigma$  se clasificaron en valor anomalo (Tabla II-2-10).

En base a la división de valor anomalo y valor subanomalo, los valores del análisis de suelo se clasificaron y se formuló el diagrama zonal de los valores del análisis de suelo (Tabla II-2-10). El estado de distribución del valor anomaloa y el valor subanomalo de cada elemento es como los siguientes :  
Cu (Fig. II-2-8, PL. II-2-5)

Los valores anomalos estan concentrados en las zonas mineralizadas de Machete, Suriana, Infierno y El Faisán. Esta zona de distribución de valores anomalos tienen una extensión de 300 x 500 metros.

Las zonas de distribución de valores subanomalos estan alrededor de la zona anteriormente citada y la zona mineralizada de Bonete. También se observan las zonas de distribución de valores subanomalos al oeste de la zona mineralizada de Suriana y el oeste de la zona mineralizada de Bonete, pero no son grandes.

Zn (Fig. II-2-8, PL. II-2-5)

Como en el caso de Cu, las zonas de valores anómalos se observan cerca de las zonas mineralizadas de Machete, Suriana, Infierno y Faisán. Sin embargo, la extensión de dichas zonas es más pequeña que la de las zonas de Cu y si la zona mineralizada de Suriana se exceptúa, las demás están distribuidas, desviándose de las zonas anómalas de Cu. Es decir, las zonas anómalas de Pb están al suroeste de la zona anómala de Cu en caso de la zona mineralizada de El Machete; al norte de la zona anómala de Cu, en el caso de la zona mineralizada de Bonete; al oeste de la zona anómala de Cu en caso de la zona mineralizada de El Infierno, y al suroeste de la zona anómala de Cu en caso de la zona mineralizada de El Faisán. De estas zonas anómalas, la de la zona mineralizada de Suriana y la de la zona mineralizada de El Faisán son comparativamente grandes, teniendo una extensión de 200 x 400 m.

Las zonas subanómalas se observan cerca de la zona mineralizada de Bonete y al borde norte de esta área.

Pb (Fig. II-2-9, PL. II-2-6)

Las zonas anómalas están concentradas cerca de las zonas mineralizadas de Machete y Suriana así como al borde norte de esta área. Las zonas anómalas en las zonas mineralizadas de El Faisán y Infierno no son grandes. Además, la distribución de las zonas anómalas de Pb es diferente de la de Cu y Zn. Las zonas anómalas de Pb están al oeste de la zona mineralizada y se conectan con las zonas mineralizadas de El Machete y La Suriana incluyendo las zonas subanómalas formando una zona anómala grande de 1,5 km x 1,5 km.

Las zonas subanómalas se observan cerca de la zona mineralizada de Bonete, las cuales no están concentradas.

Ag (Fig. II-2-9, PL. II-2-6)

Las zonas anómalas están concentradas cerca de las zonas mineralizadas de El Machete, La Suriana y Infierno.

Las zonas anómalas de Ag en las zonas mineralizadas de Machete y Suriana están distribuidas en la misma posición que las zonas anómalas de Pb mientras que las zonas anómalas de Ag que están al oeste de la zona mineralizada de La Suriana ocupan la misma posición que las zonas anómalas de Pb. La zona

anomala en la zona mineralizada de La Suriana tiene una extensión de 200m x 400m. Zonas anominalas no son grandes, comparadas con las de los elementos anteriormente citados.

Las zonas subanomalas se observan cerca de las zonas mineralizadas de El Faisán y Bonete. Las zonas subanomalas que estan cerca de la zona mineralizada de Bonete no están concentradas.

Au (Fig. II-2-10, PL. II-2-7)

Las zonas anomalas de Au están distribuidas cerca de las zonas mineralizadas de El Machete y Suriana y al oeste de la zona mineralizada de La Suriana. Estas zonas anomalas ocupan la misma ubicación que las zonas anomalas Pb y Ag. Las zonas anomalas que están cerca de la zona mineralizada estan concentradas comparativamente las cuales tienen una extensión pequeña de 200m x 200m. No hay más que zonas subanomalas cerca de las zonas mineralizadas de Infierno y El Faisan a diferencia de los cuatro elementos. las zonas subanomalas se observan también cerca de la zona mineralizada de Bonete y al sur de la zona mineralizada de Bonete, las cuales no estan concentradas.

Hg (Fig. II-2-10, PL, II-2-7)

Las zonas anomalas se observan cerca de las zonas mineralizadas de Machete y Suriana. Las zonas anomalas de Suriana ocupan misma ubicación de las zonas anomalas de los cinco elementos anteriormente citados. Además, las zonas anomalías se observan al oeste de Suriana y al oeste de El machete. Las zonas anomalas que están al oeste de La Suriana coinciden parcialmente con las zonas anomalas de Pb, Ag y Au, las cuales existen independientemente en áreas los demás. También las zonas anomalas que están la oeste de Machiete existen independientemente, las cualas tienen una extensión grande de 500m x 200m.

Solo las zonas subanomalas se observan cerca de las zonas mineralizadas de Infierno y El Faisán como en caso de Au, las cuales no son grandes. Las zonas sub-anomalas se observan también al norte de la zona mineralizada de Bonete, las cuales no están concentradas.

### Análisis de Componentes principales

En la cláusula anterior, la zona anomala de cada elemento se extrajo y su distribución se analizó. Sin embargo, con este método no se aclara muchas veces el proceso de formación de la zona anomala en que los elementos se meten a causa de la anomala mineralización y alteración. Como consecuencia, se realizó el análisis de componentes principales para captar la relación entre los elementos.

Los resultados del análisis de componentes principales se muestran en la Tabla II-2-9. La proporción de contribución significa la razón de fluctuación de elementos que se puede explicar cada componente contra la fluctuación total de elementos. La carga de factor indica la relación entre el punto obtenido de cada componente y elemento. En el primer componente (Z1), cada elemento muestra la relación positiva contra el punto del primer componente. La carga de factor (correlación entre el punto del primer componente principal y elemento) es alta en Cu, Pb y Zn y baja en Au. Es decir, todos los elementos suelen comportarse igualmente y especialmente indica que la relación entre Cu, Pb y Zn es alta. Este primer componente principal explica el 44% (proporción de contribución) de la fluctuación total de elementos.

En el segundo componente (Z2), Au y Ag muestran la relación positiva contra el punto del segundo componente mientras que Cu y Zn muestra la relación negativa contra el mismo. Especialmente la carga de factor de Au es la más alta. Ag y Pb no tienen la relación estrecha con la fluctuación del segundo componente. En otros términos, Au y Hg muestran valores altos en el área donde Cu y Zn muestran valores bajos. Este segundo componente explica el 17% de la fluctuación total de elementos. La razón de contribución del tercer y cuarto componente es baja (12%). Lo que indica que no tiene la relación estrecha con los elementos citados.

En el capítulo anterior, se aclaró que los elementos de Cu, Pb, Zn, Au, Ag y Hg se anexaron a la roca matriz, formándose las zonas anmalas positivas. Por consiguiente, en el primer componente todos los elementos muestran la relación

positivo contra sus puntos. A medida que los puntos son altos, se indica que todos los elementos se anexaron fuertemente a causa de la mineralización y alteración.

Si el punto del segundo componente es alto, se indica que Au y Hg se anexaron fuertemente y al contrario, Cu y Zn no están contenidos.

La razón de contribución del tercer y cuarto componente es baja, lo que es causado posiblemente por las fluctuaciones finas diferentes de las que se mencionaron anteriormente y otros factores desconocidos.

Para evaluar la fluctuación de cada elemento en conjunto, el primer componente y el segundo componente se dividen y se muestran en la Fig. II-2-11 y PL. II-2-8. Como se muestra en la Tabla II-2-10, esta división se realizó en base al punto (desviación estándar) y  $2\sigma$  de ambos componentes. Como ambos componentes representan la característica de la mineralización y alteración, el área de  $M+\sigma$  hasta  $M+2\sigma$  se fijó como valor sub-anomalia y el área de más de  $M+2\sigma$  como valor anómalo.

En cuanto al primer componente que muestra la anexión de los elementos de Cu, Pb, Zn, Au, Ag y Hg, las zonas anomalías están distribuidas cerca de las zonas mineralizadas de Machete, Suriana, Infierno y El Faisán. Las zonas anomalía que están cerca de la zona mineralizada de La Suriana están concentradas comparativamente, teniendo una extensión de 300m x 800m. Las zonas anomalas que se encuentran al norte de la zona mineralizada de El Bonete, oeste de Suriana no son grandes. Las zonas subanomalas que se encuentran al oeste y norte de la zona mineralizada de Machete y oeste de Machete y oeste de Bonete, no están concentradas.

En cuanto al segundo componente que muestra la característica de Au y Hg, las zonas anomalas se observan cerca de las zonas mineralizadas de Machete y La Suriana.

Las zonas anomalas de este segundo componente están al este del primer componente de Machete y al oeste del primer componente de Suriana. Las zonas anomalas que están cerca de la zona mineralizada están concentradas teniendo una extensión de 400m x 500m.

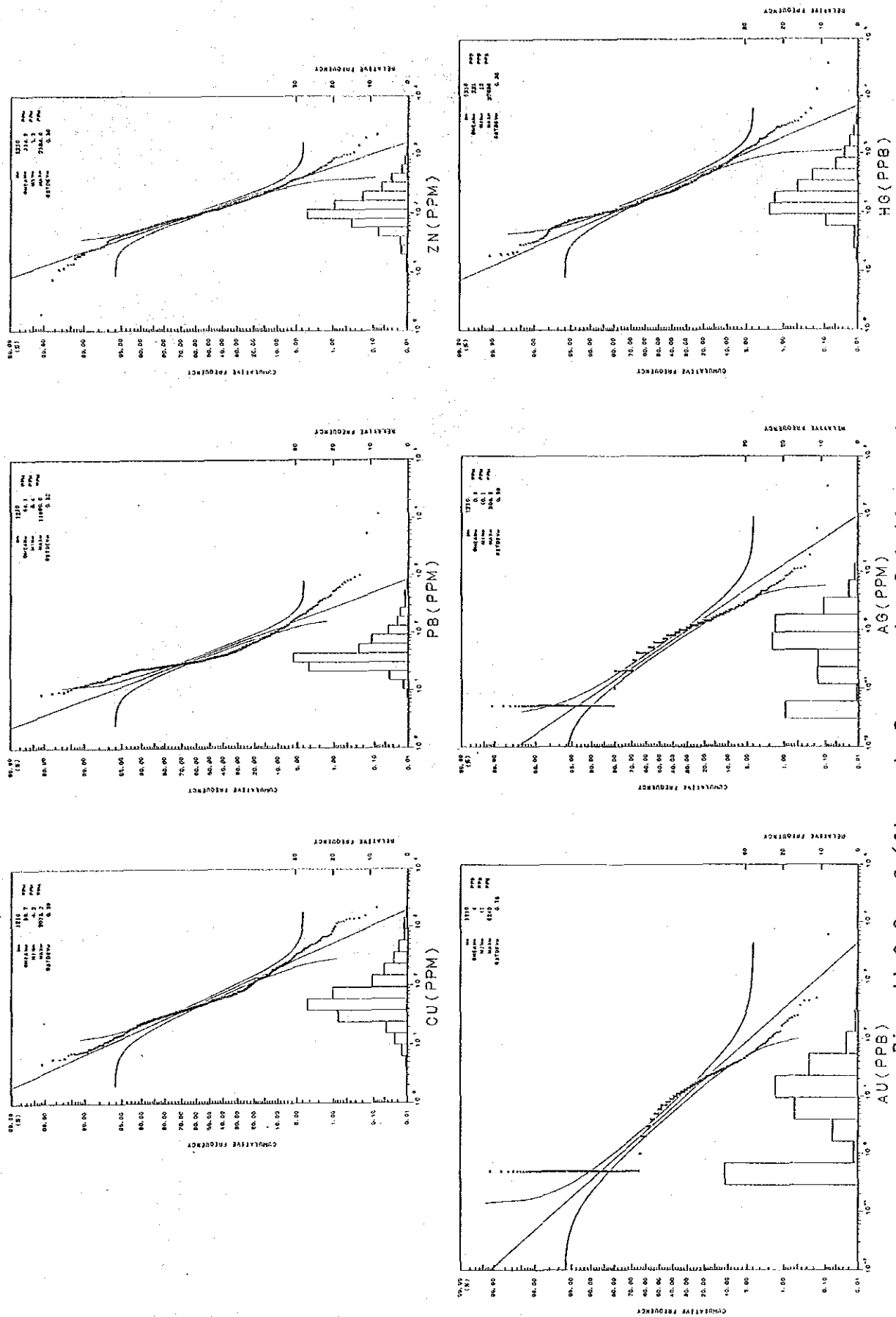


Fig. 11-2-6 Gráficas de Frecuencias Relativas y Acumulativas por Elementos de Suelos, Area El faisán

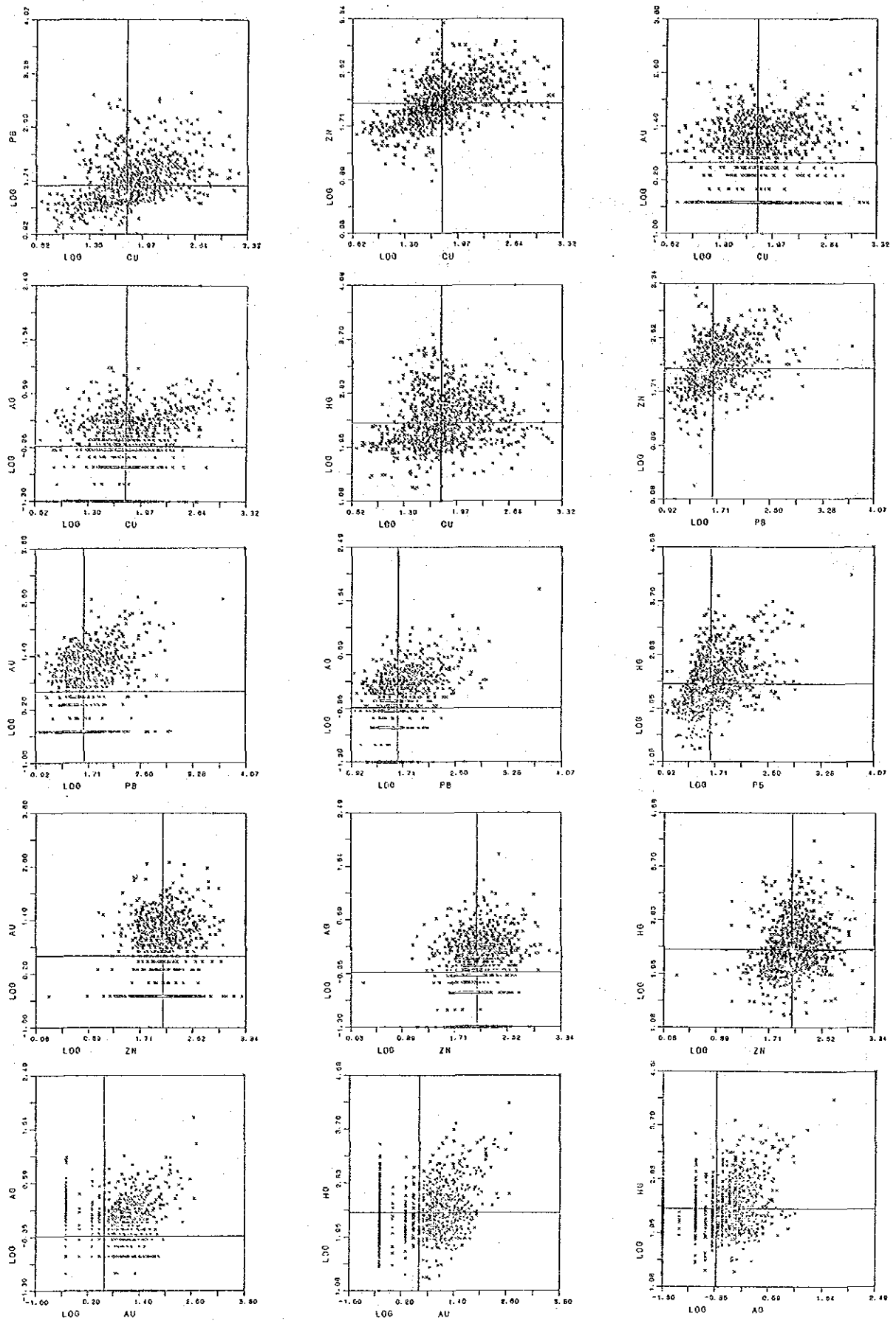


Fig. 11-2-7 Diagramas de Dispersión por Elementos Suelos, Area El Faisán



Tabla 11-2-7 Factores Estadísticos de Elementos de Suelos,  
Area El Faisán

Elemento	Valor Mínimo	Valor Máximo	Valor de Medio Aritmético	Valor de Desviación	Valor de Medio Geométrico	Coefficiente de Desviación
Cu(ppm)	4.2	2075.2	99.2	162.4	59.7	0.39
Pb(ppm)	8.4	11690.0	75.5	377.6	44.1	0.32
Zn(ppm)	1.2	2184.0	149.7	151.0	114.9	0.31
Au(ppb)	<1	6240	20	182	4	0.76
Ag(ppm)	<0.1	306.8	1.2	9.0	0.5	0.59
Hg(ppb)	12	37656	390	1241	221	0.39

Tabla 11-2-8 Correlación Coeficiente Entre elementos de Suelos,  
Area El Faisán

	Cu	Pb	Zn	Au	Ag
Pb	0.46				
Zn	0.54	0.45			
Au	0.15	0.34	0.09		
Ag	0.32	0.43	0.26	0.17	
Hg	0.22	0.48	0.29	0.25	0.24

Confianza de 5% = 0.06 Datos Logaritmicos  
Confianza de 1% = 0.07

Tabla 11-2-9 Lista de Análisis de Componentes Principales,  
Area El Faisán

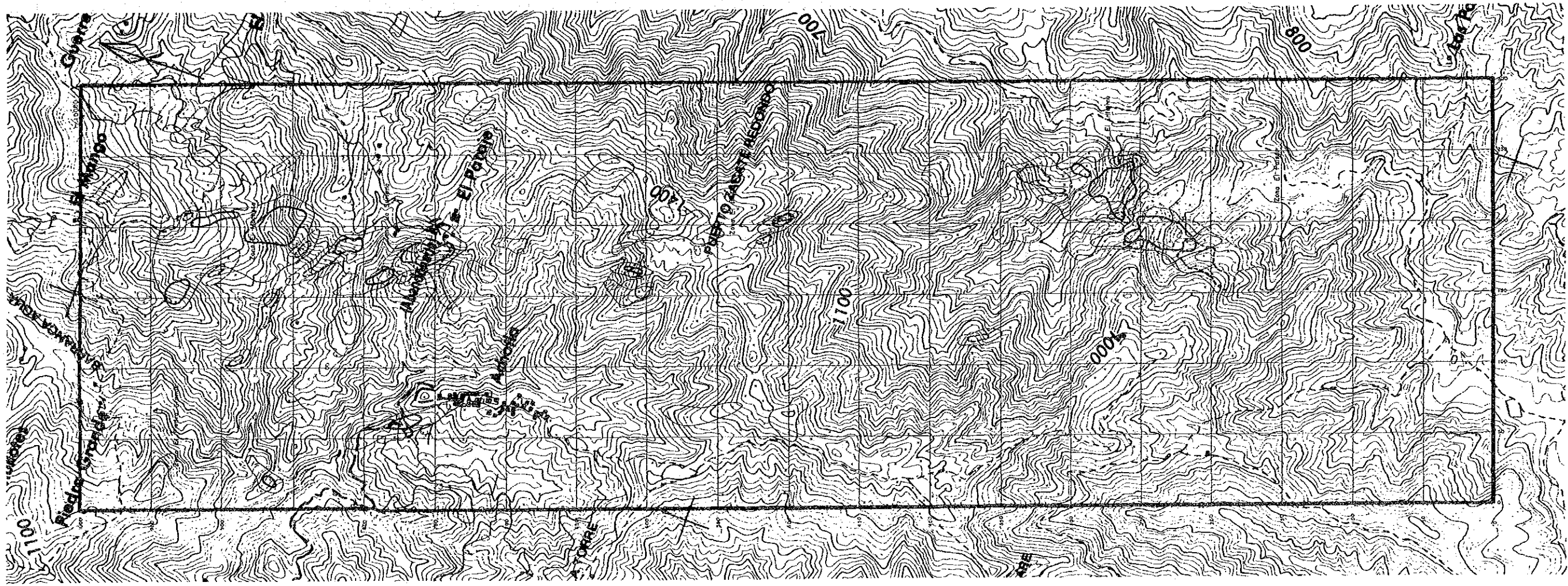
Componente Principal	Proporción (%)	Carga de Factor					
		Cu	Pb	Zn	Au	Ag	Hg
Z1	43.8	0.71	0.83	0.70	0.44	0.61	0.62
Z2	17.1	-0.43	0.11	-0.45	0.71	-0.01	0.35
Z3	12.8	-0.04	0.00	-0.27	-0.01	0.74	-0.37
Z4	12.2	-0.32	0.09	-0.10	-0.53	0.21	0.54

Tabla II-2-10 Clacificación de Zona Anmalia, Area El Faisán

Elemento	Sub-Anomalía ( $\sigma - 2\sigma$ )	Anomalía (más de $2\sigma$ )
Cu(ppm)	147.0- 362.2	362.2- 2075.2
Pb(ppm)	91.2- 188.6	188.6-11690.0
Zn(ppm)	232.0- 468.4	468.4- 2184.0
Au(ppb)	23 - 132	132 - 6240
Ag(ppm)	1.8- 7.1	7.1- 306.8
Hg(ppb)	537-1304	1304 -37656

Componente Principal	Sub-Anomalía ( $\sigma - 2\sigma$ )	Anomalía (más de $2\sigma$ )
Z1(Primero)	1.62-3.24 Escor	3.24-11.24 Escor
Z2(Segundo)	1.01-2.02 Escor	2.02- 4.04 Escor





**Leyenda**

Elemento Cu

○ : Sub - Anomalia ( 147.0 - 362.2 ppm )

○ : Anomalia ( 362.2 - 2075.2 ppm )

Elemento Zn

○ : Sub - Anomalia ( 232.0 - 468.4 ppm )

○ : Anomalia ( 468.4 - 2184.0 ppm )

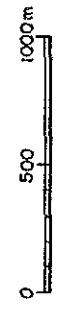
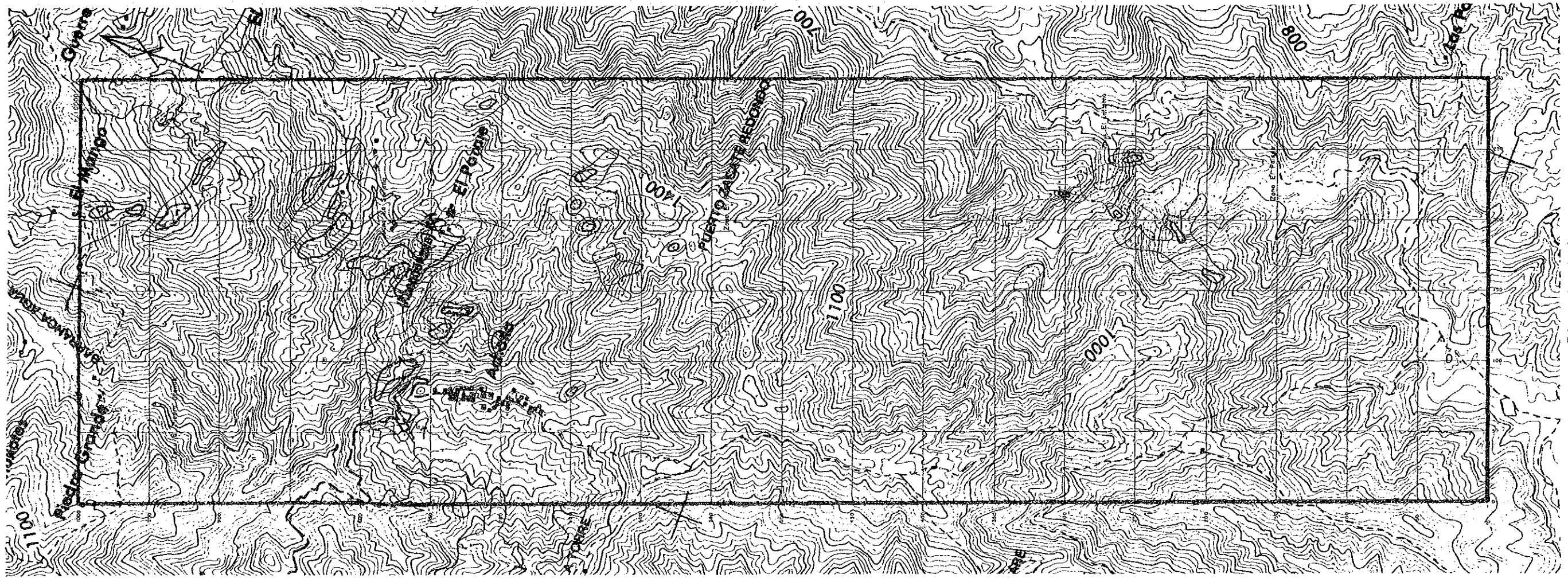


Fig. 11-2-8 Resultados de Análisis de Elementos (Cu,Zn),  
Area El Faisán



Leyenda

- |             |   |                                     |
|-------------|---|-------------------------------------|
| Elemento Pb | ○ | : Sub-Anomalía ( 91.2 - 188.6 ppm ) |
|             | ○ | : Anomalía ( 188.6 - 116900 ppm )   |
| Elemento Ag | ○ | : Sub-Anomalía ( 1.8 - 7.1 ppm )    |
|             | ○ | : Anomalía ( 7.1 - 306.8 ppm )      |

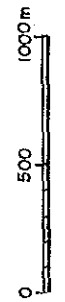
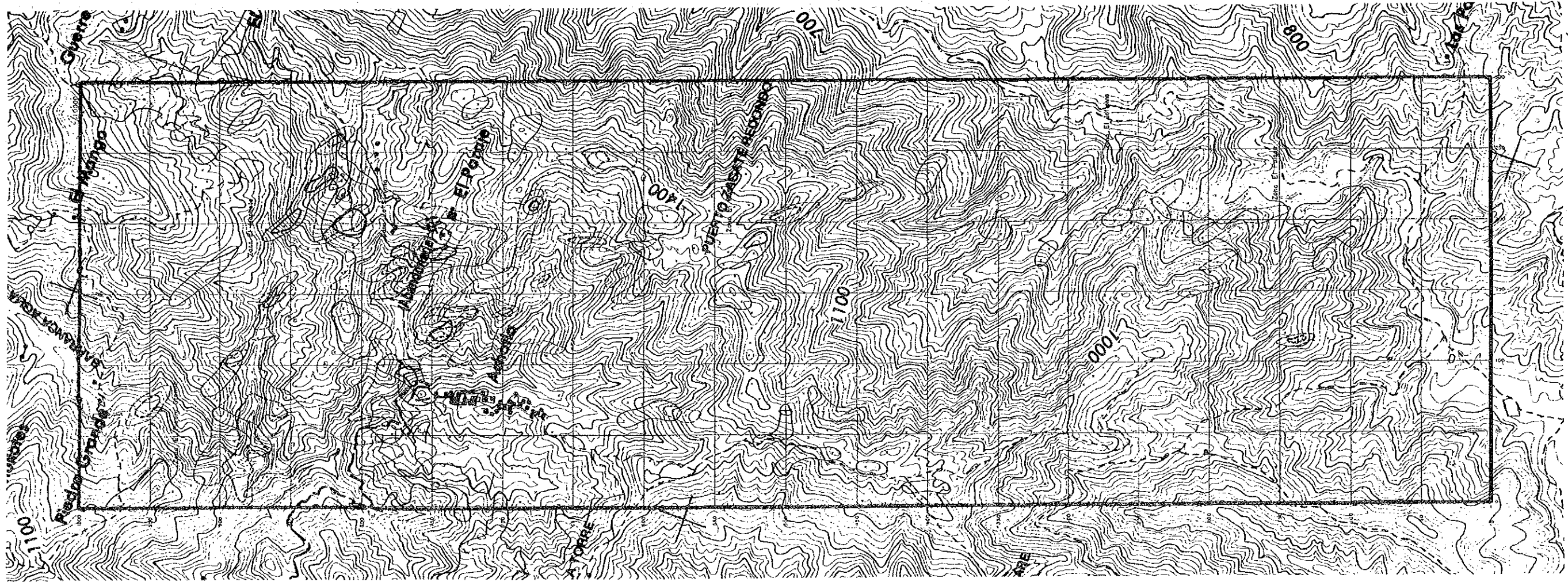


Fig. 11-2-9 Resultados de Análisis de Elementos (Pb,Ag),  
Area El Faisán



Leyenda

- |             |   |                                   |
|-------------|---|-----------------------------------|
| Elemento Au | ○ | : Sub-Anomalía ( 23 - 132 ppb )   |
|             | ○ | : Anomalía ( 132 - 6240 ppb )     |
| Elemento Hg | ○ | : Sub-Anomalía ( 537 - 1304 ppb ) |
|             | ○ | : Anomalía ( 1304 - 37656 ppb )   |

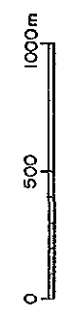
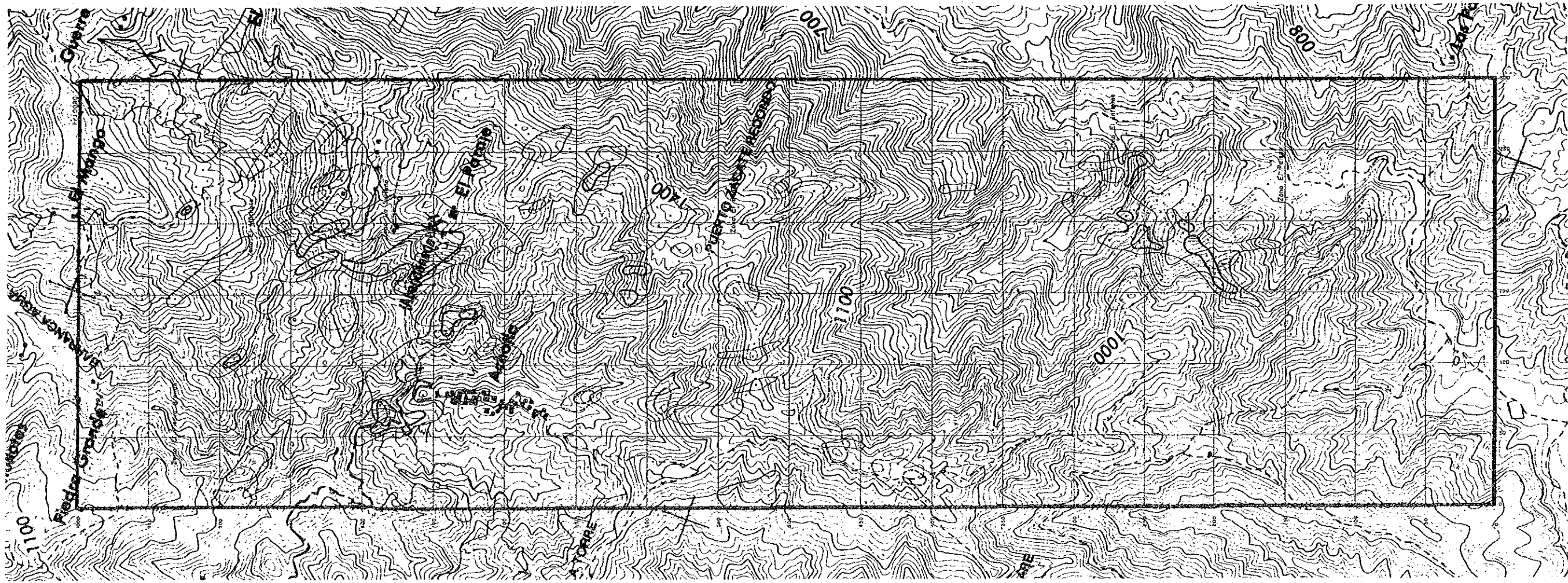


Fig. 11-2-10 Resultados de Análisis de Elementos (Au,Hg), Area El Faisán





**Leyenda**

Escor de Primero Componente (Z1)

- : Sub - Anomalia ( 1.62 - 3.24 )
- : Anomalia ( 3.24 - 11.24 )

Escor de Segundo Componente (Z2)

- : Sub - Anomalia ( 1.01 - 2.02 )
- : Anomalia ( 2.02 - 4.04 )

Fig. 11-2-11 Resultados de Análisis de Componentes Principales (Z1,Z2)  
Area El Faisán





Por otra parte, en las zonas mineralizadas de El Infierno y El Faisán donde las zonas anomalas del primer componente se encuentran, las zonas anomalas y subanomalas del segundo componente no se observan. Las zonas anomalas se observan al oeste de Suriana y al noreste de El Faisan, las cuales no son grandes. Las zonas subanomalas se observan al suroeste de Suriana y al sur de El Faisán, las cuales no están concentradas.

Ya hemos mencionado la característica de la distribución de las zonas anomalas de cada elemento y las zonas anomalas del punto de componente. En el capítulo siguiente consideramos la relación entre geología, mineralización y alteración.

#### 2-4 Consideración

Esta área se consideraba una área donde existen sulfuros masivos y prospecciones se han realizado. Actualmente la mina Campo Morado existe a 6 km al norte de esta región. A juzgar por las condiciones geológicas es una área interesante desde punto de vista exploración minera. Sin embargo, hemos obtenido algunos resultados diferentes de los hechos que se consideraban como verdaderos.

Damos a continuación nuestra consideración sobre los resultados de geología, mineralización, alteración e investigación geoquímica que se obtuvieron de esta investigación.

##### 2-4-1 Geología

Se consideraba que las rocas volcánicas ácidas que se componen de lavas de dacita o sea el horizonte favorable de sulfuros masivos, están distribuidas junto con esquistos grafiticos. Sin embargo, según esta investigación, los sedimentos del tipo Molasa pertenecientes al sistema cretácico y las rocas intrusivas tal como dacitas (Dc1, Dc2) que penetran dichos sedimentos están distribuidas extensivamente. Las rocas volcánicas ácidas raramente se encuentran.

Según Lorinczi y Miranda (1978), estos sedimentos del tipo Molasa son las rocas que forman la parte superior de yacimiento de sulfuros masivos de esta región. Según el mapa geológico regional por SPP (1983) y Czerna (1982) (Fig. I-3-1), los

estratos generales corren en dirección al sur-norte, inclinándose ligeramente hacia el oeste. De esto se infiere que las rocas volcánicas ácidas que están en la parte inferior de los sedimentos del tipo Molasa están distribuidas al este de esta área de investigación.

Las rocas intrusivas tal es como dacitas (Dc1, Dc2) corren en dirección al nornoroeste-sursureste, inclinándose hacia el este empinadamente. Estas rocas intrusivas se desarrollan hasta fuera de esta área de investigación, teniendo mas de 20 km de longitud. Las rocas del sistema cretácico tienen muchas fracturas con inclinación empinada desarrolladas paralelo a la dirección de las rocas intrusivas y se confirmó que algunas de ellas pertenecen al sistema de falla directa (normal). Como no se encuentra grieta con ángulo obtuso, a juzgar por la forma de las rocas intrusivas y las fallas en el sistema cretácico, el sistema de fallas del cretácico se formó a causa del movimiento de estructura que tiene el eje de fuerza mínima en dirección al este-noreste, sur-suroeste y el eje de fuerza máxima en dirección perpendicular y las rocas intrusivas penetraron a lo largo del sistema de fallas. Por otra parte, las fracturas rellenas de veta están distribuidas dentro de las rocas intrusivas o alrededor de dichas rocas intrusivas. Estas fracturas se formaron despues de la penetracion de las rocas, las cuales se observan paralelo a la dirección de intrusion. Como las fracturas no están formadas en dirección perpendicular, se considera que las grietas se formaron durante el proceso de enfriamiento con posterioridad a la intrusión. La dirección de estas fracturas está limitada con la dirección del sistema de fallas del cretácico así como la dirección de la intrusión de las rocas intrusivas.

#### 2-4-2 Mineralización y Alteración

Las zonas mineralizadas son de veta, red alveolar, y diseminación, formándose epigeneticamente. Estas zonas mineralizadas se observan en las rocas intrusivas tal como dacitas (Dc1, Dc2) o al borde del sistema cretácico y se reducen a medida que se separa de las rocas intrusivas. Las zonas alteradas rodean las zonas mineralizadas y a medida que

se acercan a las zonas mineralizadas, el grado de alteración se intensifica. De esto, se infiere que la de mineralización y alteración están relacionados con la actividad hidrotermal que ocurrió con posterioridad a la intrusión de las rocas intrusivas.

En los minerales se observan tales como pirita, esfalerita y hematita, por lo que se considera que estos minerales se originaron en condiciones de que al hidrotermal estaba en estado oxidado. En los minerales por alteración, se observan la caolinita, sericia y clorita, por lo que se considera que estos minerales se derivaron del hidrotermal ácido o neutro. Así los minerales representan la característica propia de la actividad del hidrotermal cerca de la superficie. Por consiguiente se considera que los yacimientos hidrotelmales se formaron directamente bajo de la superficie.

Según el análisis de los minerales (menas), el contenido de Cu y Pb es inferior al 1% mientras que el contenido de Zn es menos de 3%. Por otra parte, el contenido de Au y Ag es de 1,9g/t y 286g/t al máximo respectivamente. Según el análisis de suelo, el contenido de Au y Ag es de 6,2g/t y 307g/t al máximo respectivamente, mientras que el contenido de Cu, Pb y Zn es poco. Así, según los resultados del análisis de minerales, sólo Au y Ag pueden ser el objeto de exploración. por consiguiente la mineralización de esta área está relacionada con el yacimiento de oro y plata.

De los yacimientos de oro por el hidrotermal algunos tienen la característica semejante a la del sistema geotérmico que es activo actualmente, los cuales se llaman yacimiento de oro del "tipo de agua termales (hot spring gold deposit)". Este yacimiento de oro del "tipo de aguas termales" se basa en la clasificación por Giles and Nelson (1982) y el yacimiento McLaughlin de California, el yacimiento Round Mountain de Nevada y el yacimiento de oro del tipo nansatsu de japon equivalen al yacimiento de esta categoría (Matsuhisa 1987).

La característica de estos yacimientos es que ellos se formaron a causa de la mineralización por el agua termal, acompañada del volcanismo reciente que ocurrió con posterioridad

a fallas de la basamento. Las zonas silicificadas y alteradas ácidas están distribuidas alrededor de la superficie de tierra y el oro lleva la veta silicificada de cuarzo y óxido. Además, los minerales, sulfuros son pocos a excepción de pirita y Hg, As y Sb están concentrados como microelementos.

A juzgar por la roca volcánica relacionada con mineralización estado de alteración, moda de ocurrencia de yacimiento y con ley de mena el tipo del yacimiento de esta área se considera yacimiento de oro del "tipo de aguas termales".

La parte que abunda en oro se continúa hasta la parte profunda en caso del yacimiento Mclaughlin mientras que la parte que abunda en oro se limita cerca de la superficie de tierra en caso del yacimiento del tipo nansatsu en Japón. Hasta la fecha, no podemos aclarar cómo el estado de Au & Ag cambian en la parte inferior en este yacimiento. Pero lo cierto es que no se transformara en yacimiento de Cu, Pb y Zn.

Por otra parte, los volcánicos ácidos tal como lava de dacita no se han desarrollado y el área que tiene zona mineralizada acompañado de minerales sulfuros masivos no se observa. Además, a juzgar por la alteración ácida y la circunstancia sedimentaria caracterizada por sedimento Molasa, se considera que hay poca posibilidad de la existencia de sulfuros masivos volcanogénicos.

#### 2-4-3 Análisis Geoquímico

Realizamos el análisis de los seis elementos (Cu, Pb, Zn, Au, Ag y Hg) en suelo y calculamos la cantidad básica de estadística. Luego analizamos los componentes principales.

Estos elementos se anexan a la roca o se separan de dicha roca a causa de la mineralización y alteración, indicando un valor diferente de la base. En esta área el valor medio de cada elemento es más alto que la fondo de suelo ordinario y el valor del análisis se inclina hacia el valor alta según el diagrama de distribución de frecuencia y el diagrama de distribución de frecuencia acumulativa. por consiguiente, se considera que cada elemento se anexó a la roca encajonate de mineralización. Además a juzgar por los resultados de geología, mineralización

y alteración, se considera que las zonas anómalas de cada elemento se formaron a causa de la actividad del hidrotermal relacionada con la mineralización de Au y Ag que ocurrió con posterioridad a la intrusión de rocas intrusivas.

Las relaciones de estos elementos se aclararon mediante el análisis de componentes principales. Por lo que se refiere al primer componente, todos los elementos indican la relación positiva contra su punto mientras que sólo Au y Hg indican la relación positiva contra su punto, por lo que se refiere al segundo componente.

Por consiguiente, en caso del primer componente, a medida que el valor del análisis de cada elemento es alto, su punto llega a ser alto. En caso del segundo componente a medida que el valor del análisis de Au & Hg, su punto llega a ser alto. Además, el primer componente explica el 44% (proporción de contribución) de la fluctuación total de elementos mientras que el segundo componente explica el 17%. Ya que la proporción de contribución del tercer componente y otros es baja, ninguna información aprovechable se puede conseguir. De lo arriba se infiere que las relaciones de elementos a causa de la mineralización de Au y Ag se concentran en el primer y en el segundo componente.

Las zonas anómalas del primer componente están distribuidas cerca de las zonas mineralizadas del Machete, Suriana, Infierno y El Faisán y al oeste de la zona mineralizada de La Suriana. Especialmente las zonas anómalas que están cerca de la zona mineralizada de La Suriana están concentradas, teniendo una extensión de 300 x 800m. Las zonas anómalas del segundo componente se observan cerca de las zonas mineralizadas de Machete y Suriana, las cuales no coinciden con las del primer componente. Las zonas anómalas que se encuentran cerca de la zona mineralizada de el Machete tienen una extensión de 400m x 500m. En el área adyacente a las zonas mineralizadas de El Infierno y El Faisán donde se encuentran las zonas anómalas y subanómalas del segundo componente no se observan.

Las zonas anómalas de ambos componentes no coinciden lo

que se puede atribuir a la variación de la propiedad del agua termal según el período de mineralización.

En cambio de la carácter del agua termal se confirma por el hecho de que el cuarzo y piritas son principales durante el primer período y la limonita es principal durante el segundo período.

Según Rose et al. (1979), de los yacimientos hidrotermales, los del tipo de metales básicos forman las zonas anomalas de Cu, Pb, Zn, Au y Ag mientras que los del tipo de oro y plata forman las zonas anomalas de Au, Ag, Hg, As y Sb.

En esta area, la de mineralización es próxima al tipo de metales básicos durante el primer período mientras que la mineralización es próxima al tipo de oro y plata durante el segundo período. Por consiguiente se considera que el primer componente refleja la anomalía acción de mineralización en el primer período.

Según el análisis químico, Au se incluye en el mineral (mena) del primer período y en el mineral del segundo período. Por consiguiente, las zonas anomalas del primer componente y del segundo componente son prometedoras para exploración.

Estas zonas anomalas coinciden en las zonas mineralizada concida y ninguna zona anomala prometedora se extrajo en otros lugares. A juzgar por la ubicación de distribución de las zonas anomalas así como la escala, las zonas más prometedoras se encuentran cerca de las zonas mineralizadas de Suriana y Machete. las áreas de Infierno y El Faisán ocupan el segundo lugar.

#### 2-4-4 Potencial de Yacimiento de Oro

Yacimientos de oro del "tipo de aguas termales" que se consideran como semejantes a los yacimientos de esta área, se están explorando en los Estados Unidos Mexicanos y Japón. En México todavía no se ha reportado el descubrimiento de este tipo de yacimiento. CRM acaba de comenzar a realizar la investigación por perforación y el análisis de minerales (menas) sobre los yacimientos del mismo tipo que están fuera de esta región. Por lo tanto, las características de yacimientos no se ha aclarado bien. En caso de estos yacimientos, a medida

que el yacimiento se desarrolla hacia la parte inferior, la cantidad de oro se aumenta o se disminuye. Por consiguiente, es necesario captar las características del yacimiento mediante la investigación básica a realizarse con anterioridad a la exploración, para lo cual además de la investigación geológica y geoquímica, la exploración geofísica y la investigación por perforación son importantes.

Los yacimientos de oro del "tipo de aguas termales" que se están explorando actualmente, tienen la forma masiva en general. La existencia de yacimiento de este tipo se calcula como estado masivo, no como vena. El método de explotación a tajo abierto se ha adoptado en consideración a la eficiencia económica.

Por otra parte, las zonas mineralizadas de esta área están limitadas con la dirección de la penetración de las rocas intrusivas y el estado de veta prevalece sobre la forma masiva. Como consecuencia, el método de exploración tajo abierto se debe adoptar. Sin embargo, en caso de la minería subterránea la ley alta de mena es indispensable para la excavación. Hay muchos ejemplos de minería subterránea con una ley alta en los yacimientos de oro del tipo de veta. Sin embargo, no hay tales ejemplos en los yacimientos de oro del "tipo de aguas termales".

Si empezamos por la exploración, consideramos que la exploración positiva no es recomendable bajo la situación económica actual debido a la extensión limitada de las zonas mineralizadas en forma masiva.















(13)

SEQ. NO.	NO.	COORDENADAS		CU (PPM)	PB (PPM)	ZN (PPM)	AU (PPB)	AG (PPH)	HG (PPB)
		X	Y						
1201	G- 40	44	717	57.4	86.0	135.8	1	0.4	576
1202	G- 43	49	730	61.6	27.0	120.2	<1	<0.5	191
1203	G- 44	49	737	67.5	28.3	147.4	<1	<0.5	234
1204	G- 45	37	741	37.7	24.4	75.6	<1	<0.5	134
1205	G- 47	38	756	56.9	41.1	141.6	5	0.2	555
1206	G- 49	54	758	131.2	44.9	192.0	3	1.0	448
1207	G- 50	68	748	213.0	61.6	242.4	10	1.0	555
1208	G- 52	48	768	112.2	102.7	176.4	7	0.2	709
1209	G- 54	25	769	57.1	38.5	106.6	<1	0.2	432
1210	G- 56	15	750	41.3	28.3	97.0	<1	<0.5	178







**PARTE III CONCLUSION Y RECOMENDACION  
PARA EL SEGUNDO AÑO**



## Capitulo 1 Conclusión

### 1. Area Tizapa

(1) Como resultado de las investigaciones por perforación del presente estudio se captaron cuerpo mineralizado en cada una de las siete perforaciones y se identificaron el estado geológico así como las formas y características del cuerpo mineralizado de Tizapa. Es decir, dicho cuerpo mineralizado está compuesto del cuerpo de buena cotinuidad contenido en el límite de la capa de esquisto grafitico en la base superior y capas de esquistos en la base inferior, de varios cuerpos mineralizados delgados contenidos en la base superior y del cuerpo mineralizado grueso de mala continuidad y varios cuerpos delgados contenidos en la base inferor. Según análisis y pruebas del núcleo de perforación se estima que este yacimiento pertenece a la clasificación de sulfuros masivos tipo "kuroko" al tener en cuenta la composición mineral.

(2) Los resultados del analisis del cuerpo mineralizado intersectado indicaron las siguientes cifras: Au: 0.8 - 4.4 g/t, Ag: 5.1 - 1.263 g/t, Cu: 0.1 - 2.11%, Pb: 0.12 - 3.89%, Zn: 0.98 - 19.56%.

En cuanto a Ag, Cu, Pb y Zn no hubo grandes diferencias en los valores obtenidos comparados con los resultados según CRM. Pero en lo referente a Au, sobre el cual había falta de datos, los valores obtenidos fueron de 1.8 g/t a 4.4 g/t en las partes de sulfuros masivos. Estos resultados demuestran que CRM acertaba al estimar aproximadamente 2 g/T de Au. De ello se podrá concluir que al realizar cálculos o analisis de reservas de mena y previabilidad se puede incorporar tal cifra en cuanto al contenido de Au.

(3) Como consecuencia de la exploración geofísica por el método TEM del presente estudio se detectó conc claridad la capa de esquisto grafitico de la base superior como faja de

baja resistividad y se aclaró que ésta se desarrolla extensamente aumentado su profundidad hacia donde cae el cuerpo mineralizado de Tizapa, es decir, hacia norte-noroeste. Ello señala que hay posibilidad de que el cuerpo mineralizado continúe hacia dicha dirección.

(4) Por otra parte, según los resultados de exploración geofísica por el método "Potencial Cargado" aprovechando los barrenos, hay bastante buena continuidad en el cuerpo mineralizado. Dichos resultados coinciden bien con la estimación hecha en base a la sección de perforación.

## 2. Area EL Faisán

(1) Tradicionalmente esta zona se la consideraba la posibilidad de existencia de yacimiento de sulfuros masivos y se realizaba exploración de acuerdo con dicha idea. Pero con las investigaciones efectuados en el presente estudio se aclaró que la zona mineralizada tan extensa identificable en el imagen de LANDSAT consiste en el cuerpo mineralizado de primera época formado por actividades de agua caliente a causa de inyección de dacita que atraviesa la sistema cretácica cuyos minerales principales son cuarzo y pirita, y en el de la segunda época, cuyos minerales principales son hematites y goethita.

(2) Como estos cuerpos mineralizados cuentan con oro y plata como su elemento principal y son escasos el cobre, plomo y zinc, con las características surgidas por la oxidación del contorno en la superficie y bajo las condiciones ácidas, se diría que corresponden a la clase de "yacimiento de oro tipo aguas termales", que es una subclasificación de yacimiento tipo veta de epitermal. Ya que en este tipo de yacimiento el contenido de oro no es tanto como en el yacimiento tipo veta, sólo aquéllos de la forma masiva de gran escala y explotable al método de tajo abierto están en explotación. Sin embargo, los cuerpos mineralizados de esta zona presentan con frecuencia la forma veta y en la actualidad no hay señales de convertirse en yacimientos masivos de gran escala.

(3) Por otro lado, la exploración geoquímica demuestra anomalos de gran escala en las zonas mineralizadas de Zuliana, Machete, Infierno y El Faisán, en las cuales no se puede negar la potencialidad de oro. Pero los anomalos geoquímico no se puede evaluar como los de primera clase. Por consiguiente, aunque no se recomienda una exploración activa, sería mejor estudiar la validez de exploración de oro en el futuro por medio de observación de la exploraciones y explotaciones del contorno.

(4) Por otro lado, a 6 km al noreste de esta zona existen yacimientos de sulfuros masivos tales como Campo Morado lo que hace pensar, que el horizonte favorable de dicha yacimiento que incluye rocas volcanicas ácidas tales como lavas de dacitas adecuados para encajonar este tipo de yacimientos distribuyen al este de esta zona. Al no ser suficientes las investigaciones geológicas regional del área que rodea la zona de referencia se desea elaborar un plano con suficiente precisión para perseguir con exactitud el horizonte favorable de yacimientos ya conocidos, efectuar investigaciones de fajas de alteración o exploración geoquímica en dichos horizontes con el fin de seleccionar potenciales zonas conteniendo yacimientos.

## Capitulo 2. Para el Segundo Año de Investigación

### 1. Area Tizapa

(1) Los resultados de investigaciones por perforación y exploración geofísica del presente año aclaran bastante la estructura del cuerpo mineralizado y su continuidad pero sólo se vieron minerales en el núcleo de perforación y no se encuentra confirmada la ocurrencia real del yacimiento. Para verificar las características del cuerpo mineralizado es necesario confirmar y observar el cuerpo excavando por galerías de exploración. Le dichas galerías se podrá extraer bastante cantidad de muestras para prueba metalúrgica que ofrecerían datos para el estudio de factibilidad futuro.

(2) A pesar de que hay esperanza de que el cuerpo mineralizado de Tizapa continúe a la parte inferior buzando al noroeste, hasta ahora no se efectuaron exploraciones en tal dirección. Dichas exploraciones son indispensables para aumentar las reservas de mena. Ya que los resultados de la exploración geofísica demuestran que se puede esperar su extensión se desea efectuar perforaciones profundas con el fin de confirmarlo.



